
Annexe

Devenir super-conscient

Transformer sa vie et accéder à l'extra-ordinaire

de Joe Dispenza



**des milliers
d'histoires,
*découvrez la vôtre***

Table des matières

Figure 2.1. Vivre sous l'influence d'un programme.....	6
Figure 2.2. Tableau associant certaines émotions à l'énergie leur correspondant.	6
Figure 2.3. Comment l'énergie est détournée du moment présent.....	7
Figure 2.4. Notre étude sur l'IgA et le cortisol à Tacoma	7
Figure 2.5. Là où se place votre attention va votre énergie.....	8
Figure 2.6. Le partage d'énergie et d'informations	8
Figure 2.7. Ondes cérébrales	9
Figure 2.8. Reprendre son énergie et son pouvoir.	9
Graphiques 1 A et 1 B. Changements énergétiques lors d'un séminaire de niveau supérieur.	10
Figure 2.9. Le moment présent, dans toute sa douceur et sa générosité	11
Figure 3.1. La différence entre ondes cérébrales cohérentes et incohérentes.....	11
Graphique 2. Cohérence et incohérence.	12
Graphiques 3A, 3 B, 3 C.....	12
Graphique 3A. Ondes cérébrales bêta normales.....	12
Graphique 3B. Ondes cérébrales alpha cohérentes.	13
Graphique 3C. Ondes cérébrales thêta cohérentes.	13
Figure 3.2. Modifications des ondes cérébrales et de la conscience.....	14
Figure 3.3. Notre étude sur les modifications cérébrales à Tacoma.	14
Figure 3.4. Toutes les possibilités du champ quantique existent dans le moment présent sous forme de potentiels électromagnétiques.	15
Figure 3.5. Le trajet du générateur d'événements aléatoires dans les expériences de René Pécoc'h.	15
Figure 3.6. Intention claire + émotions élevées = nouvelle énergie	16
Figure 4.1A. Le spectre lumineux des fréquences électromagnétiques	16
Figure 4.1B. Fréquence et longueur d'onde.....	17
Figure 4.1C. Rapport entre la fréquence et la longueur d'onde	17
Figure 4.2. Transcender le mental analytique	17
Figure 4.3. Les centres énergétiques.....	18
Figure 4.4A. L'ascension de l'énergie créatrice dans le corps	18
Figure 4.4B. Les blocages énergétiques	19
Figure 4.5. La survie	19
Figure 4.6. De l'énergie à la matière	20
Graphiques 4A, 4B, 4C, 4D. Changements énergétiques grâce à la méditation de bénédiction des centres énergétiques.	21

Graphiques 4A et 4B.	21
Graphiques 4C et 4D.	21
Graphiques 5A, 5B, 5C, 5D. Changements de l'énergie globale avant et après un séminaire...	22
Figure 5.1. La boucle psycho-émotionnelle de la colère	23
Figure 5.2. La boucle psycho-émotionnelle de la culpabilité	23
Figure 5.3. Champ électromagnétique d'un aimant	24
Figure 5.4. Comment l'énergie influence la matière	24
Figure 5.5. Comparaison entre un corps chargé d'énergie et un corps déchargé	25
Figure 5.6. Le cerveau et la moelle épinière dans le système squelettique	25
Figure 5.7. Le trajet du liquide cébrospinal	26
Figure 5.8. Contracter les muscles intrinsèques pour faire s'élever le liquide cébrospinal vers le cerveau	26
Figure 5.9. Champ d'induction	27
Figure 5.10A. Trajet de l'énergie stockée depuis le corps vers le cerveau	27
Figure 5.10B. Trajet de l'énergie stockée depuis le corps vers le cerveau	28
Figure 5.11. Le champ torique	28
Figure 5.12. Comparaison entre les ondes bêta hautes et les ondes gamma du cerveau	29
Graphiques 6A. Un participant entre en ondes gamma grâce à la respiration.	29
Graphiques 6B. Un autre participant entre en ondes gamma grâce à la respiration.	31
Figure 5.13. Le tube de prana	32
Figure 5.14. L'énergie pénètre dans le cerveau par la formation réticulée.	32
Graphique 6B (4). Imageries cérébrales montrant l'activation de l'aire entourant la glande pinéale.	33
Graphique 6B (5). Une représentation tridimensionnelle du cerveau du même participant. ...	33
Figure 5.15. Ce que font les gènes et en quoi ils sont importants en matière de santé.	34
Graphiques 7A à 7C. Examens cérébraux de Felicia	35
Étude du cas de Felicia, suite	37
Figure 7.1. Schémas du rythme cardiaque.	38
Figure 7.2. La cohérence cardiaque influence la cohérence cérébrale.	38
Graphiques 8A et 8B. Cohérence cardiaque et cohérence cérébrale.	39
Figures 7.3 A et 7.3B. Une analyse de la variabilité de fréquence cardiaque de l'une de nos participantes.	40
Figure 7.4. Trois exemples de participants plongés pendant quarante-cinq minutes dans des émotions du cœur.	41
Figures 7.5A et 7.5B. Deux exemples de personnes ayant une très faible variabilité de fréquence cardiaque.	41

Figure 8.1. La relation entre la transe, l'influencabilité, les ondes cérébrales et l'esprit analytique.....	42
Graphiques 9A (1) et 9A (2). Ondes alpha et thêta cohérentes pendant le visionnage du kaléidoscope.	43
Graphiques 9A (3) et 9A (4). Changement de l'activité cérébrale pendant le visionnage du kaléidoscope.	44
Graphique 10. Énergie élevée dans le cerveau pendant le visionnage du film mental	45
Graphique 11 (A) et 11 (B). Activité cérébrale pendant qu'une scène du film mental est recréée en plusieurs dimensions.....	46
Graphiques 12 (A) et 12 (B). Changements cérébraux avant et après une marche méditative.	47
Figure 11.1. Le rapport entre l'espace et le temps dans le monde tridimensionnel.	48
Figure 11.2. Le temps linéaire : passé, présent et avenir.....	48
Figure 11.3. Du monde des sens au monde au-delà des sens.....	49
Figure 11.4.....	49
Figure 11.5. Le rapport entre le temps et l'espace dans le monde en 5D.	50
Figure 11.6. La perte de la personnalité et l'ouverture à l'universalité.	50
Figure 11.7. Modèle classique et modèle quantique de l'atome.	51
Figure 11.8.....	51
Figure 11.9.....	52
Figure 11.10. Vers l'unité.....	53
Figure 11.11. De la pensée à la matière.....	54
Figure 11.12. S'ouvrir à un nombre illimité de possibilités.....	54
Figure 12.1. La fabrication de sérotonine et de mélatonine : la méthylation.....	55
Figure 12.2. La relation inverse entre les hormones surrénaliennes et la mélatonine.	55
Figure 12.3. Faits scientifiques à propos de la mélatonine.....	56
Figure 12.4. Photographies d'un cristal de calcite découvert dans la glande pinéale.	56
Figure 12.5. Les ventricules du cerveau.	57
Figure 12.6. Les poils à l'extrémité de la glande pinéale	57
Figure 12.7. L'activation du système nerveux périphérique quand l'énergie remonte le long de la colonne.....	58
Figure 12.8. Les deux thalamus dans le mésencéphale, avec la glande pinéale au milieu, face à l'arrière du cerveau.....	58
Figure 12.9. Le tore inversé.....	59
Figure 12.10. La production d'autres métabolites à partir de la mélatonine.	59
Graphique 13. Ondes porteuses d'informations	60

Figure 12.11. Le Crop Circle	60
Figure 12.12. L'œil d'horus, le cerveau limbique et la glande pinéale	61
Figure 12.13. La suite de Fibonacci.	61
Figure 12.14. Le caducée : l'alchimie du soi.....	61
Figure 13.1. Le champ électromagnétique terrestre	62
Graphique 14. Corrélation entre l'activité solaire et les événements historiques.	62
Graphique 15A. Comparaison entre les énergies de toute une journée mercredi, jeudi, vendredi, samedi Tacoma, États-Unis, 2016.....	63
Graphique 15B. Comparaison entre les énergies de toute une journée mercredi, jeudi, vendredi, samedi Carefree, États-Unis, 2015	63
Graphique 15C. Comparaison entre les énergies matinales mercredi, jeudi, vendredi, samedi Cancún, Mexique, 2014	64
Graphique 15D. Comparaison entre les énergies matinales mercredi, jeudi, vendredi, samedi, dimanche Munich, Allemagne, 2015.....	64
Figure 13.2. L'interférence constructive.	65
Figure 13.3.....	65

Figure 2.1. Vivre sous l'influence d'un programme.

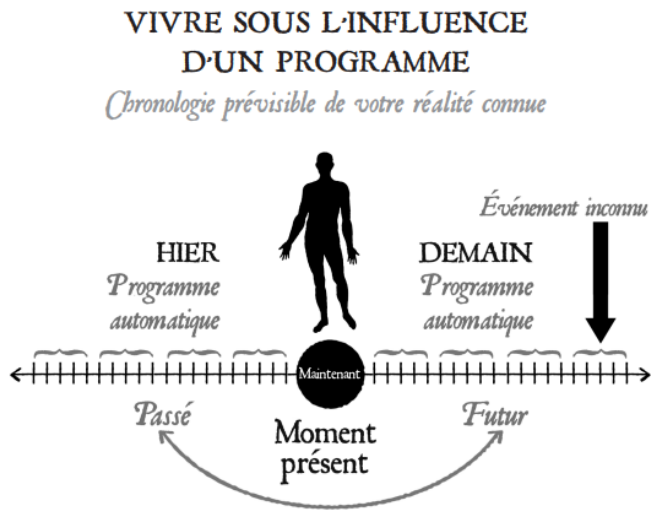


Figure 2.2. Tableau associant certaines émotions à l'énergie leur correspondant.

**TABLEAU ASSOCIANT CERTAINES ÉMOTIONS
À L'ÉNERGIE LEUR CORRESPONDANT**

<i>Émotions supérieures</i>		<i>béatitude liberté amour joie appréciation gratitude volonté pouvoir contrôle colère peur culpabilité honte souffrance victimisation douleur luxure</i>
<i>Fréquence plus rapide Énergie plus élevée</i>		
<i>Fréquence plus lente Densité plus élevée</i>		
<i>Émotions de survie</i>		

Figure 2.3. Comment l'énergie est détournée du moment présent

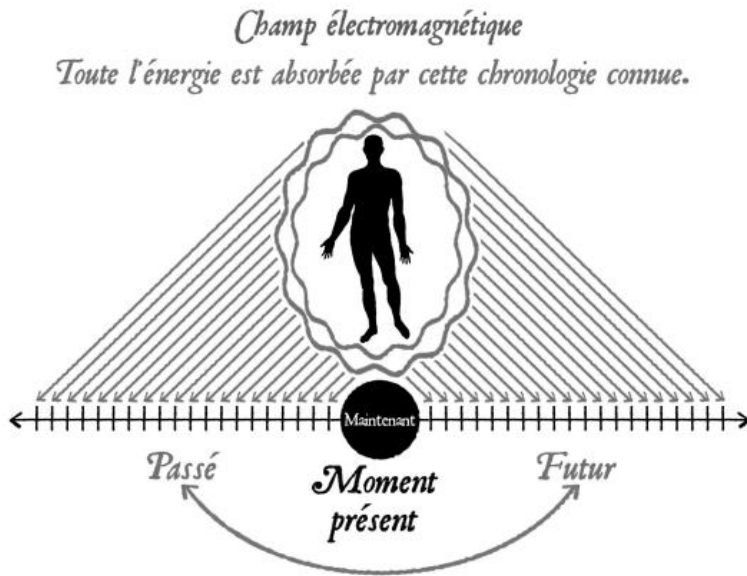


Figure 2.4. Notre étude sur l'IgA et le cortisol à Tacoma

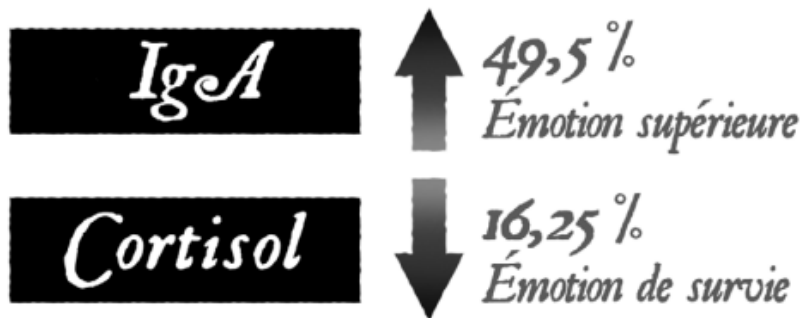


Figure 2.5. Là où se place votre attention va votre énergie

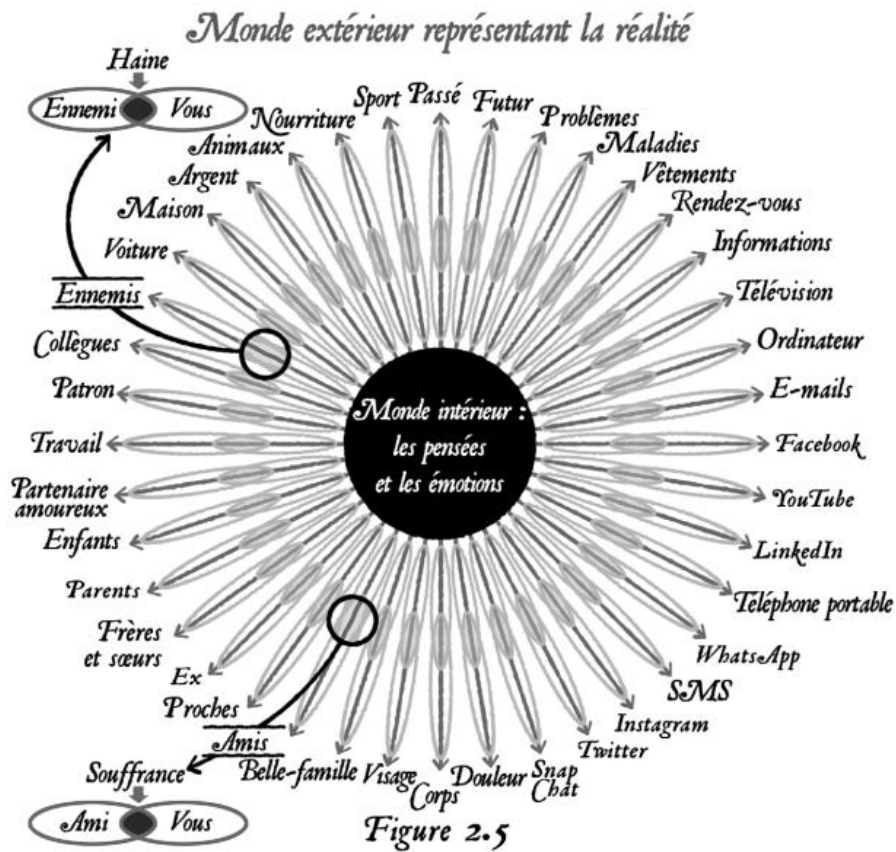


Figure 2.6. Le partage d'énergie et d'informations

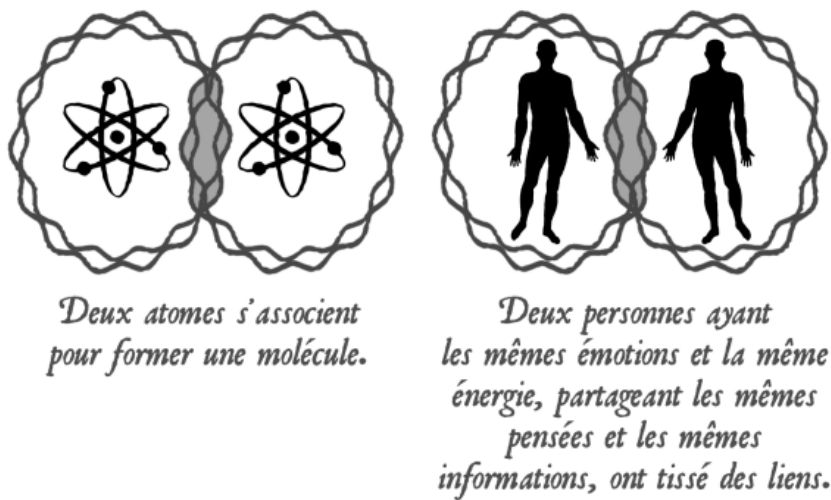


Figure 2.7. Ondes cérébrales

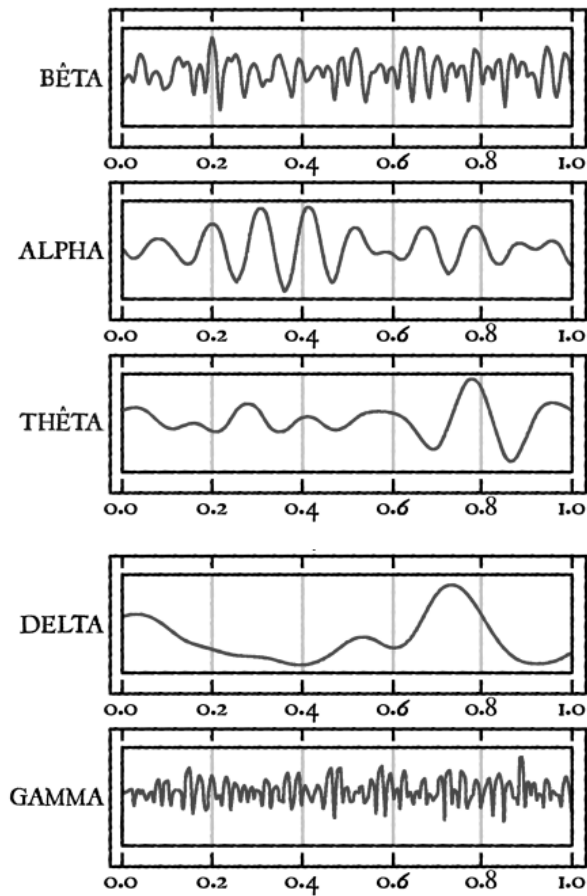
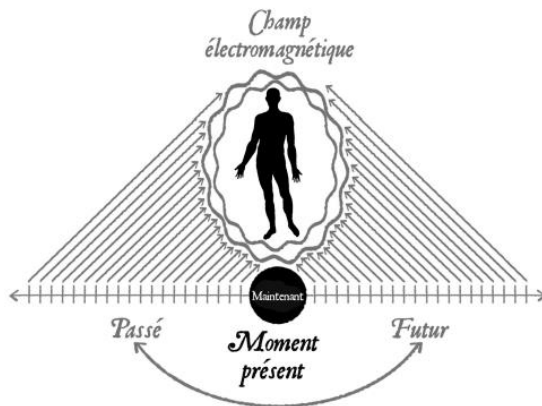


Figure 2.7

Comparaison des différentes ondes cérébrales.

Figure 2.8. Reprendre son énergie et son pouvoir.



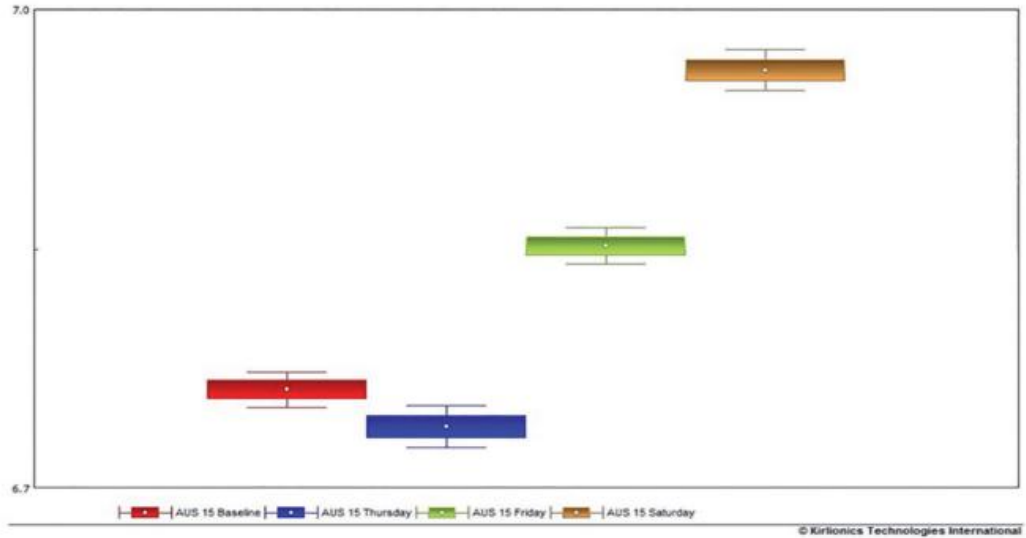
Graphiques 1 A et 1 B. Changements énergétiques lors d'un séminaire de niveau supérieur.

CHANGEMENTS ÉNERGÉTIQUES LORS D'UN SÉMINAIRE DE NIVEAU SUPÉRIEUR

GDV Scientific Laboratory

AUS 15 Baseline: Mean: 6.732; Std error: 0.006; Confidence interval: 0.012
 AUS 15 Thursday: Mean: 6.706; Std error: 0.007; Confidence interval: 0.014
 AUS 15 Friday: Mean: 6.827; Std error: 0.006; Confidence interval: 0.012
 AUS 15 Saturday: Mean: 6.942; Std error: 0.007; Confidence interval: 0.014

By ANOVA muty factor test samples are statistically dissimilar; $p = 0$

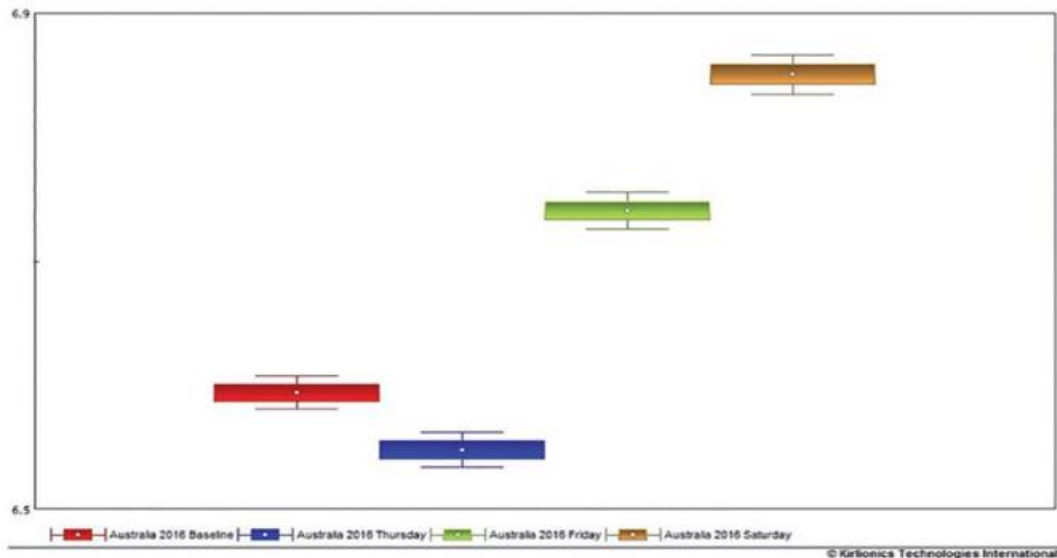


Graphique 1A

GDV Scientific Laboratory

Australa 2016 Baseline: Mean: 6.622; Std error: 0.005; Confidence interval: 0.011
 Australa 2016 Thursday: Mean: 6.556; Std error: 0.006; Confidence interval: 0.011
 Australa 2016 Friday: Mean: 6.740; Std error: 0.006; Confidence interval: 0.012
 Australa 2016 Saturday: Mean: 6.826; Std error: 0.006; Confidence interval: 0.013

By ANOVA muty factor test samples are statistically dissimilar; $p = 0$

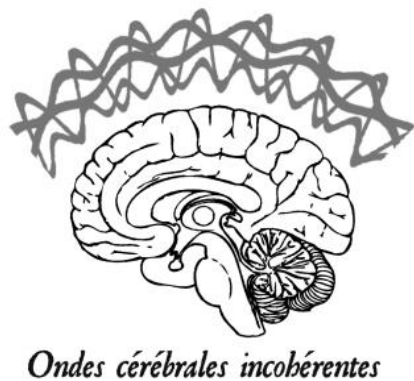
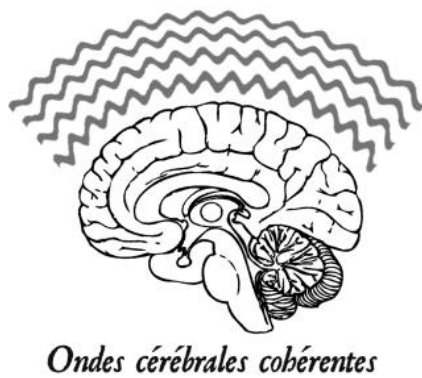


Graphique 1B

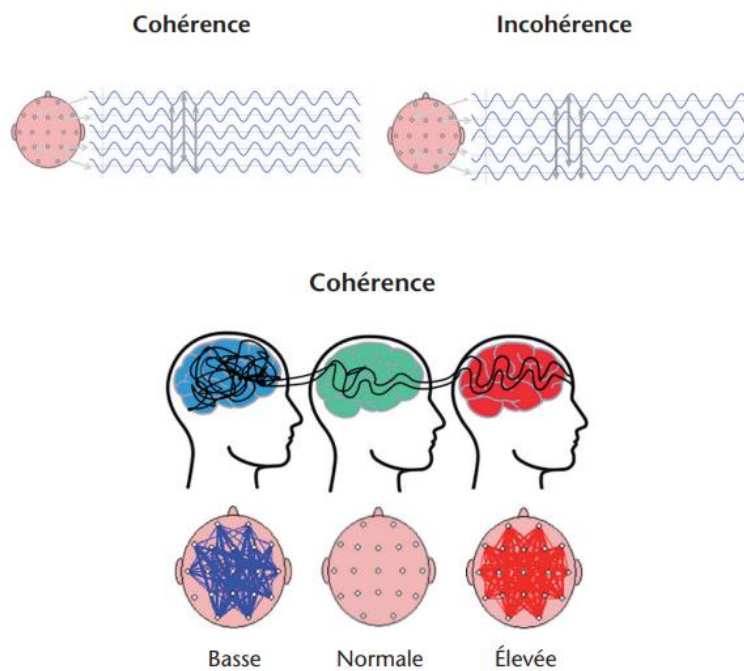
Figure 2.9. Le moment présent, dans toute sa douceur et sa générosité



Figure 3.1. La différence entre ondes cérébrales cohérentes et incohérentes.



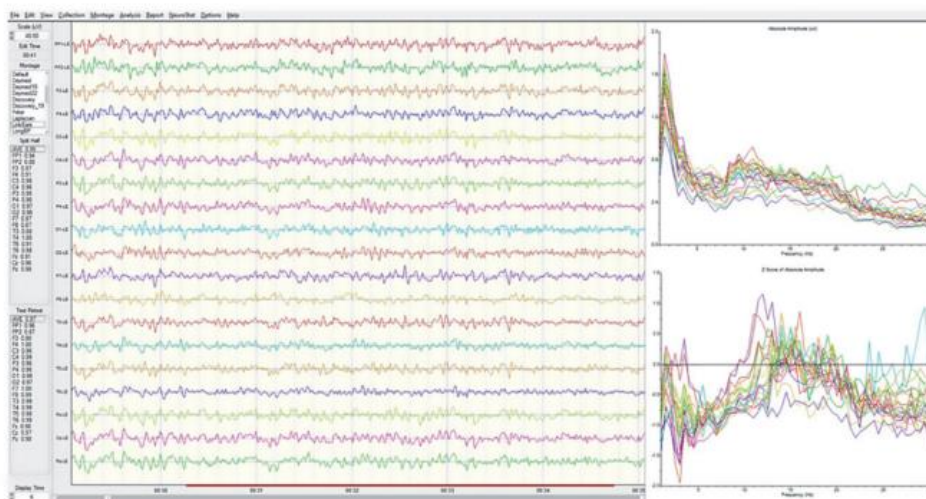
Graphique 2. Cohérence et incohérence.



Graphique 2

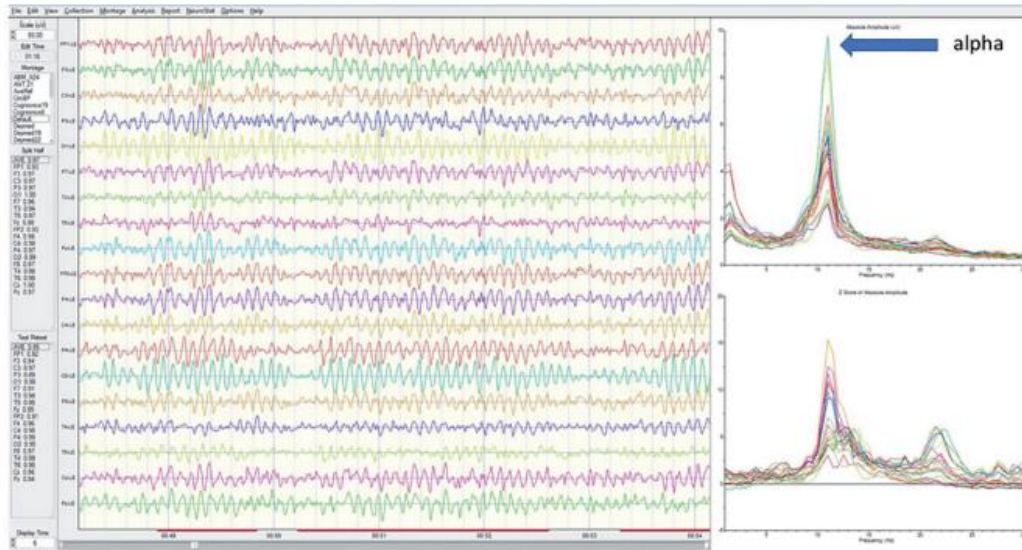
Graphiques 3A, 3 B, 3 C.

Graphique 3A. Ondes cérébrales bêta normales.



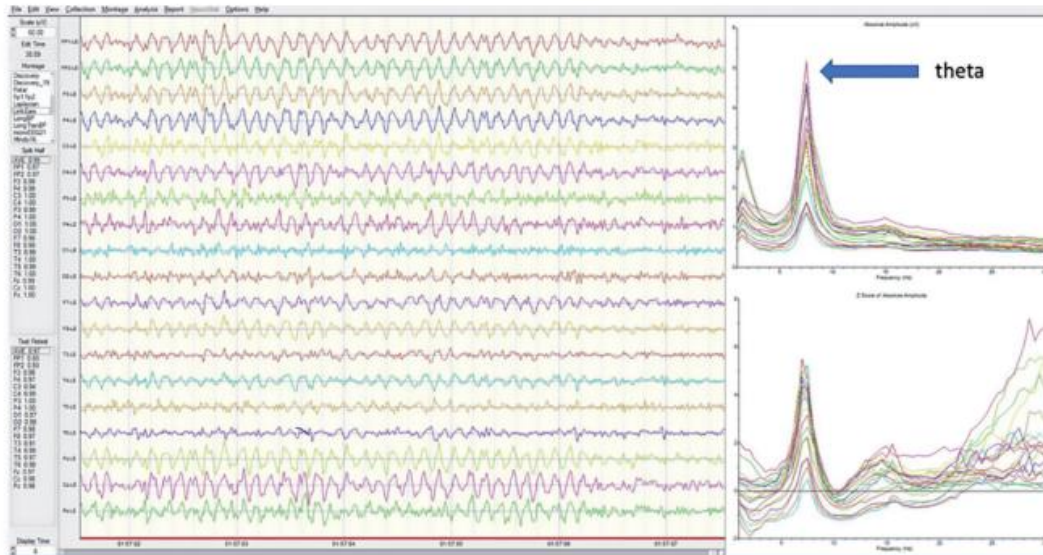
Graphique 3A

Graphique 3B. Ondes cérébrales alpha cohérentes.



Graphique 3B

Graphique 3C. Ondes cérébrales thêta cohérentes.



Graphique 3C

Figure 3.2. Modifications des ondes cérébrales et de la conscience.

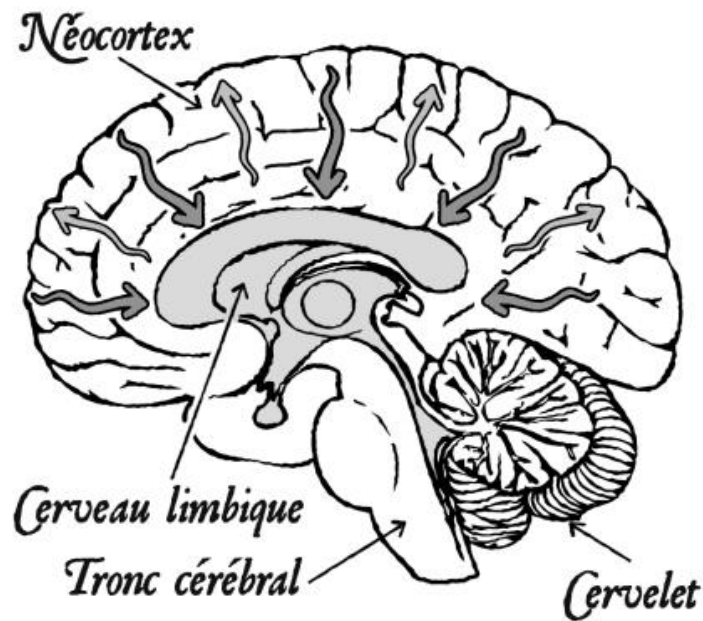


Figure 3.3. Notre étude sur les modifications cérébrales à Tacoma.

- Rapidité de l'accès à un état alpha stable ↑ 18 %
- Ratio des ondes cérébrales delta par rapport à bêta.. ↑ 62 %
- Ondes cérébrales bêta de haute fréquence..... ↓ 124 %
- Ondes cérébrales delta..... ↑ 149 %

Figure 3.4. Toutes les possibilités du champ quantique existent dans le moment présent sous forme de potentiels électromagnétiques.



Figure 3.5. Le trajet du générateur d'événements aléatoires dans les expériences de René Péc'h.

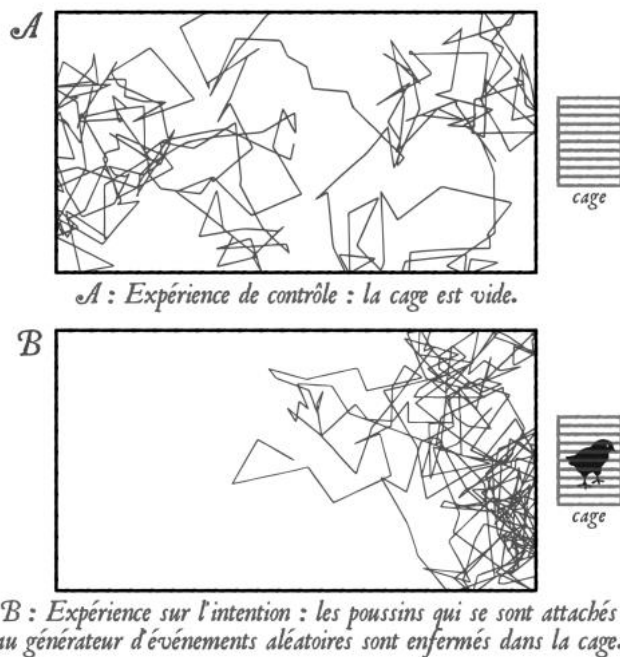


Figure 3.6. Intention claire + émotions élevées = nouvelle énergie

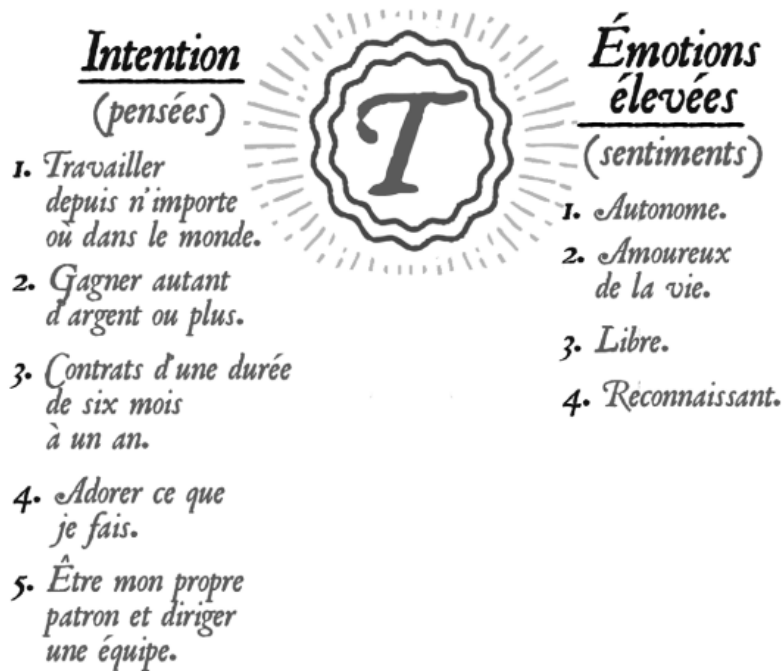


Figure 4.1A. Le spectre lumineux des fréquences électromagnétiques

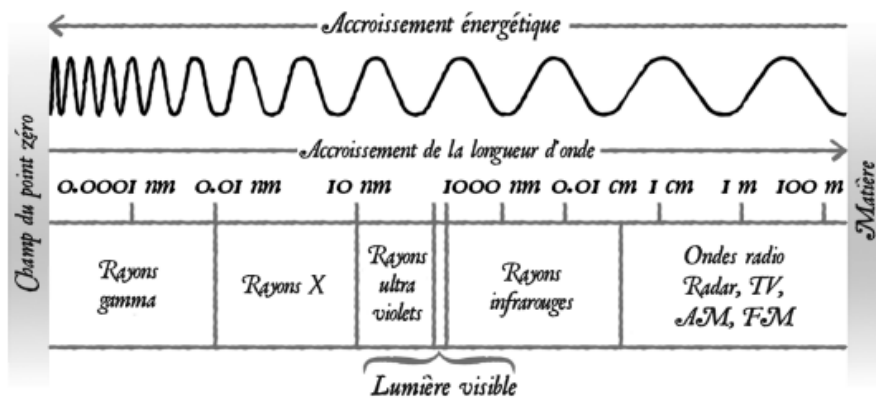


Figure 4.1B. Fréquence et longueur d'onde

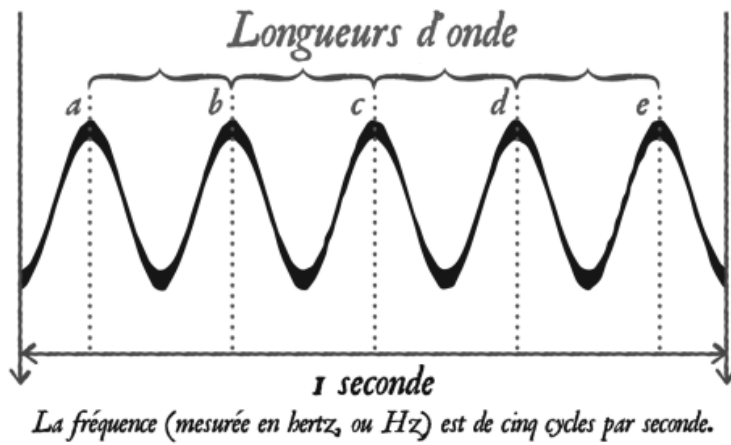


Figure 4.1C. Rapport entre la fréquence et la longueur d'onde



Figure 4.2. Transcender le mental analytique

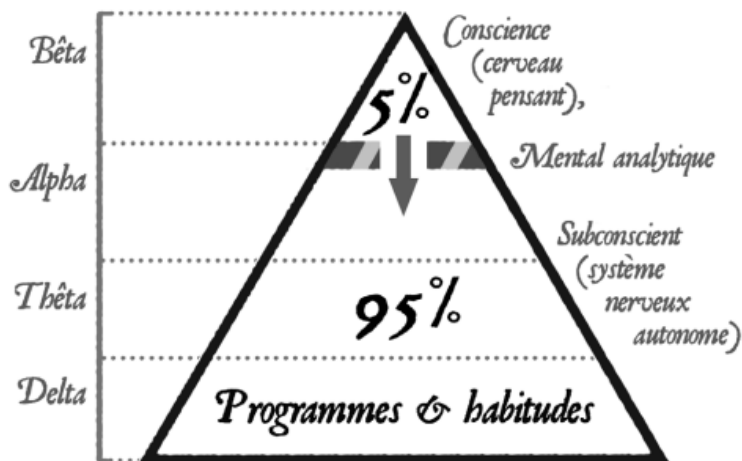


Figure 4.3. Les centres énergétiques

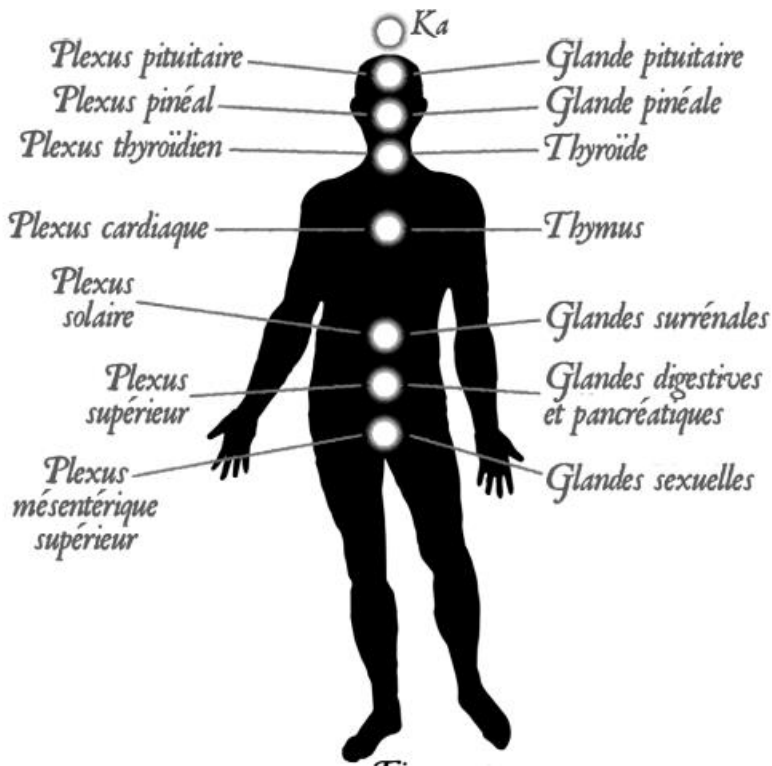


Figure 4.4A. L'ascension de l'énergie créatrice dans le corps

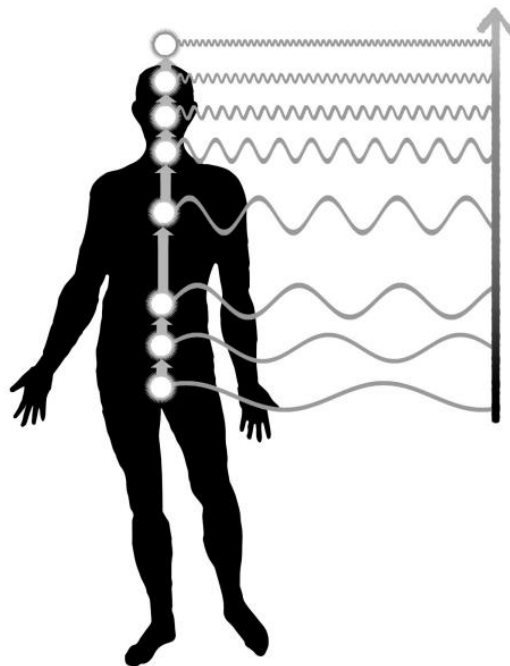


Figure 4.4B. Les blocages énergétiques

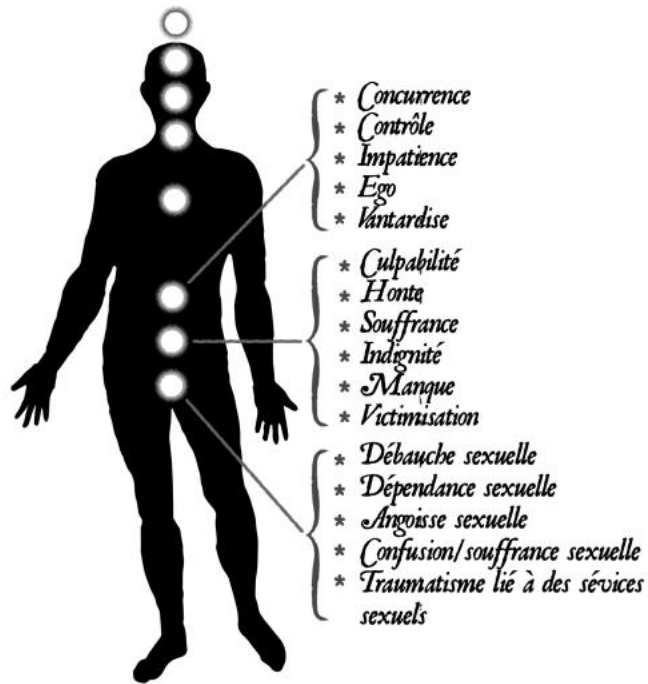


Figure 4.5. La survie

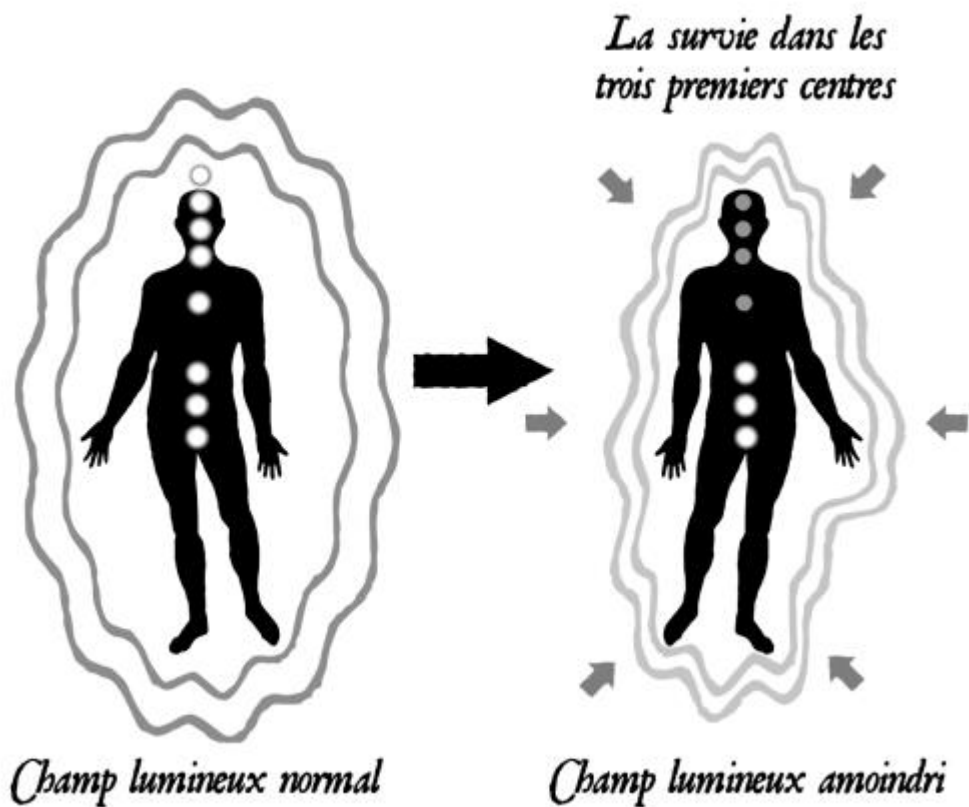
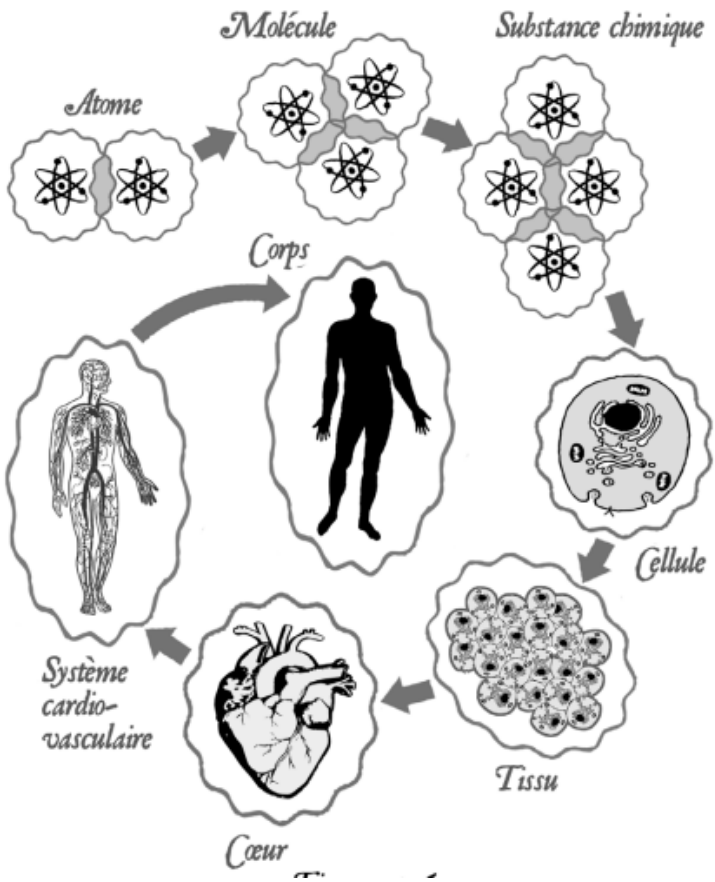
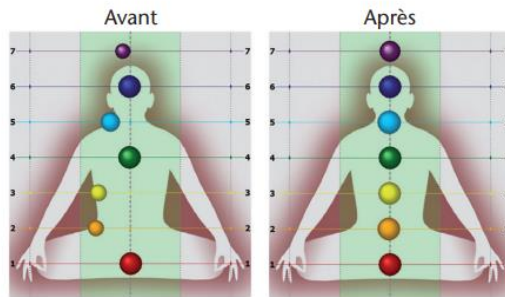


Figure 4.6. De l'énergie à la matière

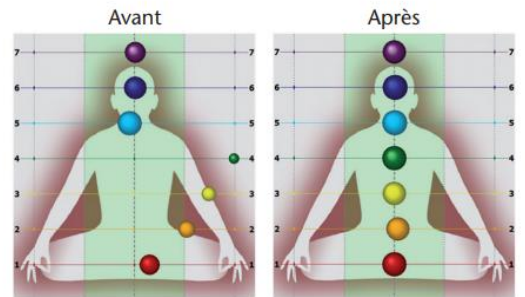


Graphiques 4A, 4B, 4C, 4D. Changements énergétiques grâce à la méditation de bénédiction des centres énergétiques.

Graphiques 4A et 4B.

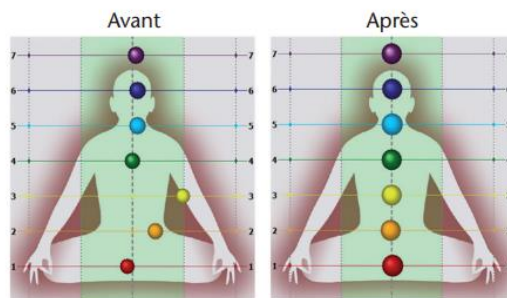


Graphique 4A

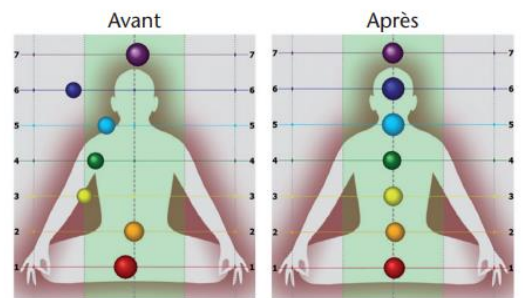


Graphique 4B

Graphiques 4C et 4D.

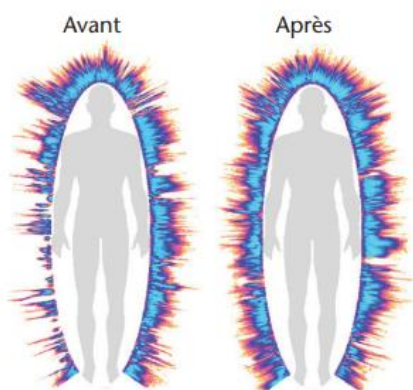


Graphique 4C

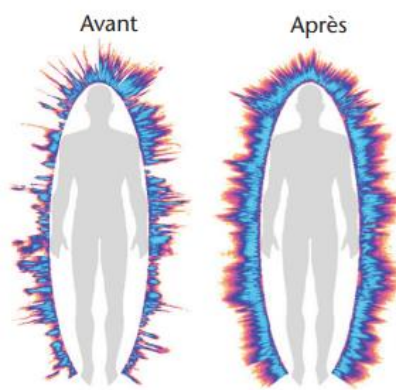


Graphique 4D

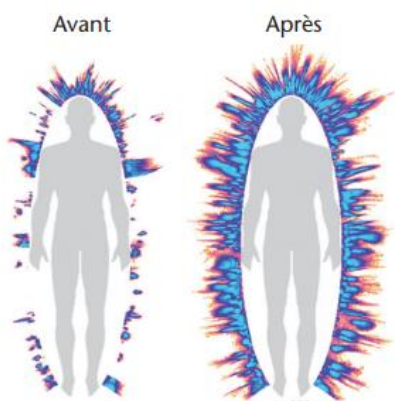
Graphiques 5A, 5B, 5C, 5D. Changements de l'énergie globale avant et après un séminaire.



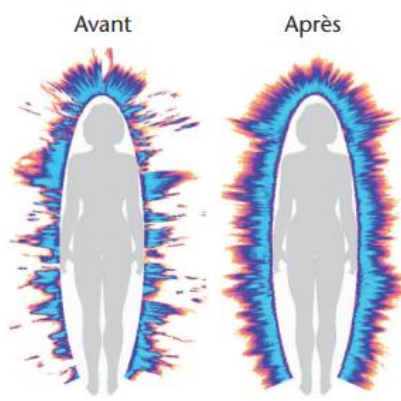
Graphique 5A



Graphique 5B



Graphique 5C



Graphique 5D

Figure 5.1. La boucle psycho-émotionnelle de la colère

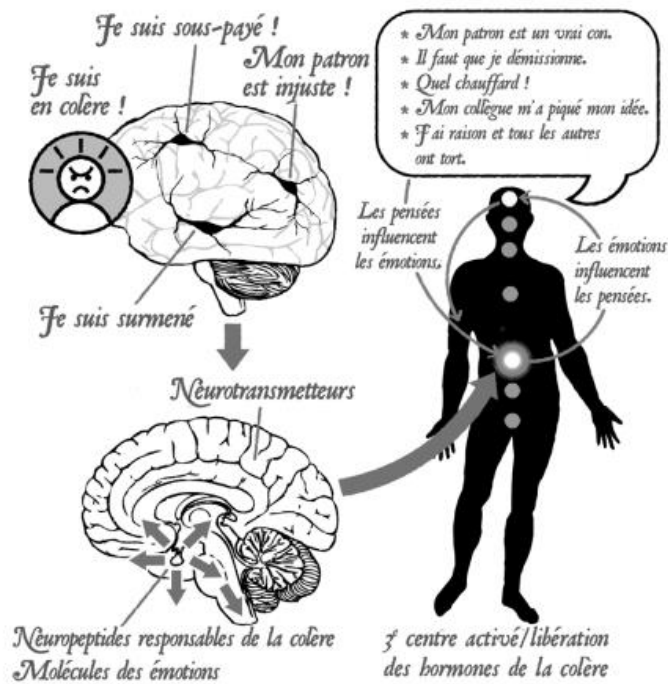


Figure 5.2. La boucle psycho-émotionnelle de la culpabilité

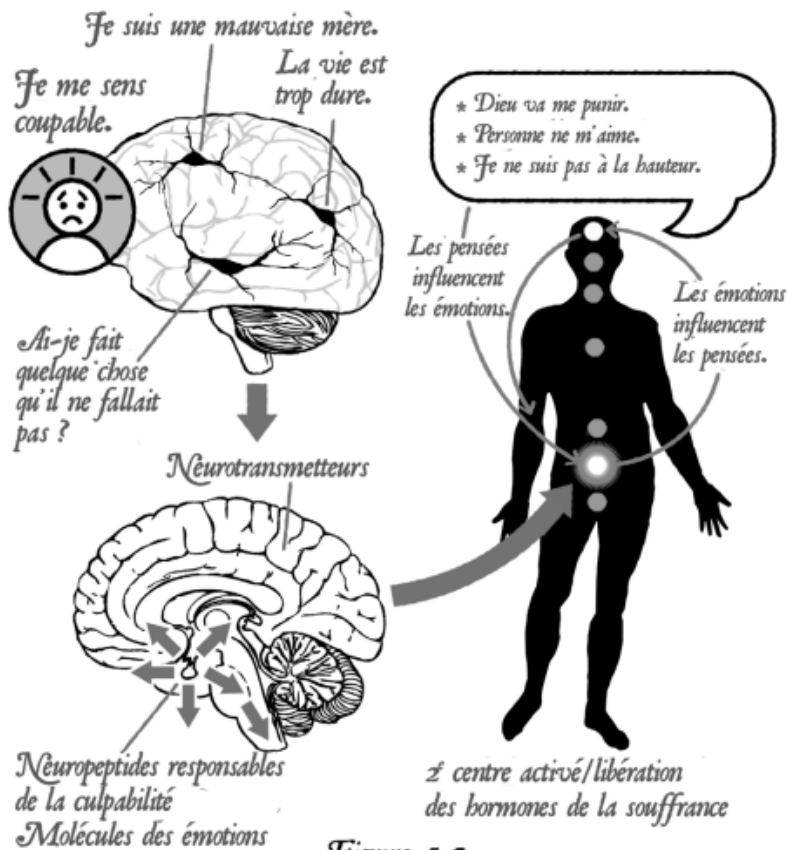


Figure 5.3. Champ électromagnétique d'un aimant

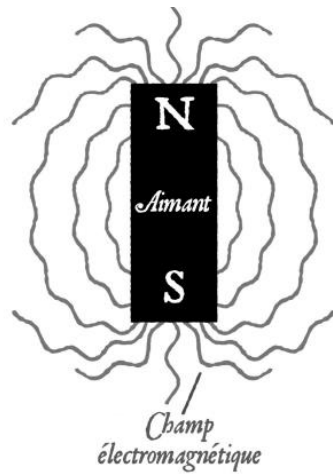


Figure 5.4. Comment l'énergie influence la matière

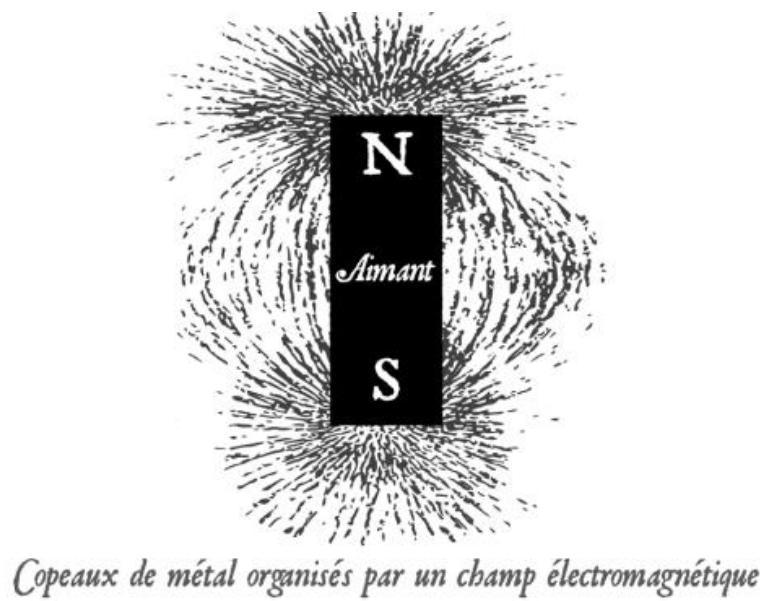


Figure 5.5. Comparaison entre un corps chargé d'énergie et un corps déchargé

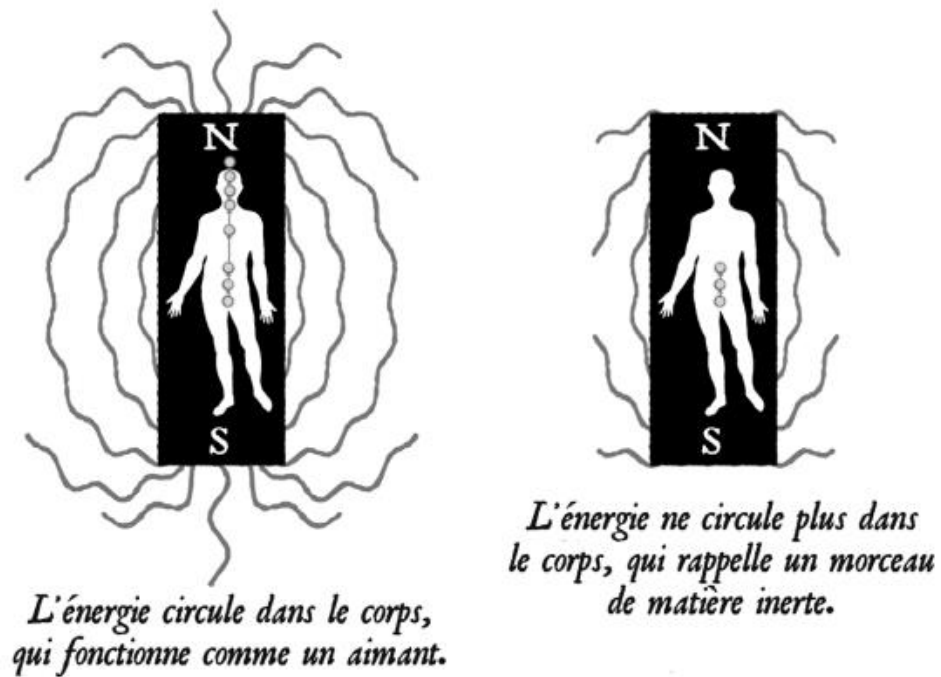


Figure 5.6. Le cerveau et la moelle épinière dans le système squelettique

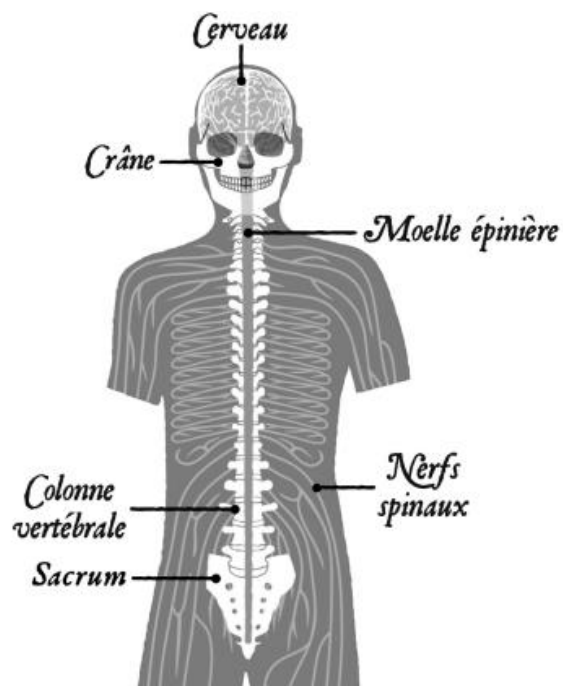


Figure 5.7. Le trajet du liquide céébrospinal

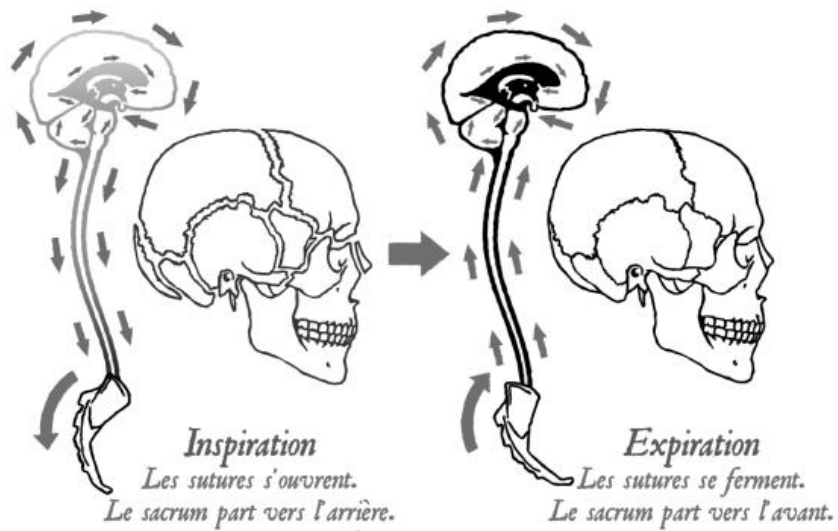


Figure 5.8. Contracter les muscles intrinsèques pour faire s'élever le liquide céébrospinal vers le cerveau



Figure 5.9. Champ d'induction



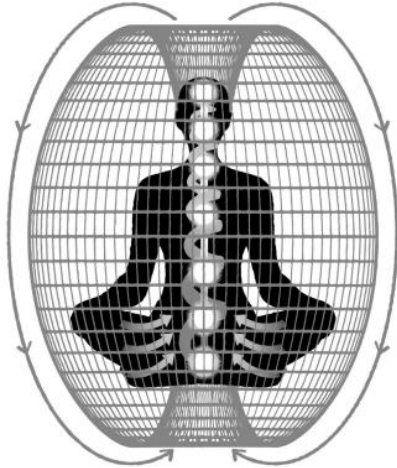
*En mettant en mouvement des molécules chargées,
un champ d'induction se crée.*

Figure 5.10A. Trajet de l'énergie stockée depuis le corps vers le cerveau



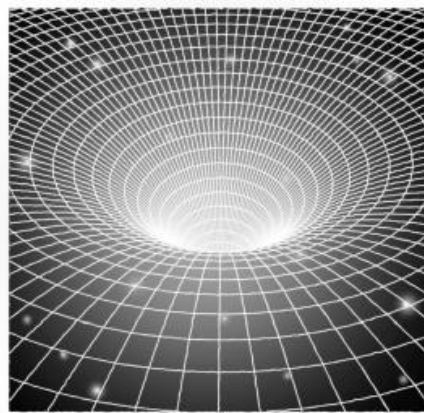
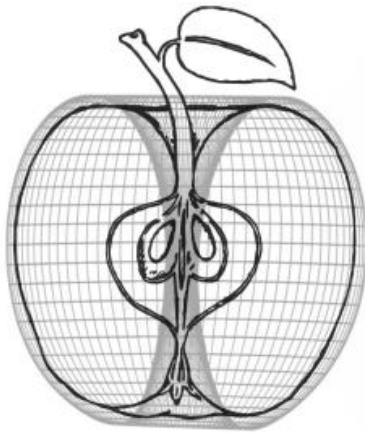
*Libérer vers le cerveau
l'énergie enfermée dans
les trois premiers centres.*

Figure 5.10B. Trajet de l'énergie stockée depuis le corps vers le cerveau



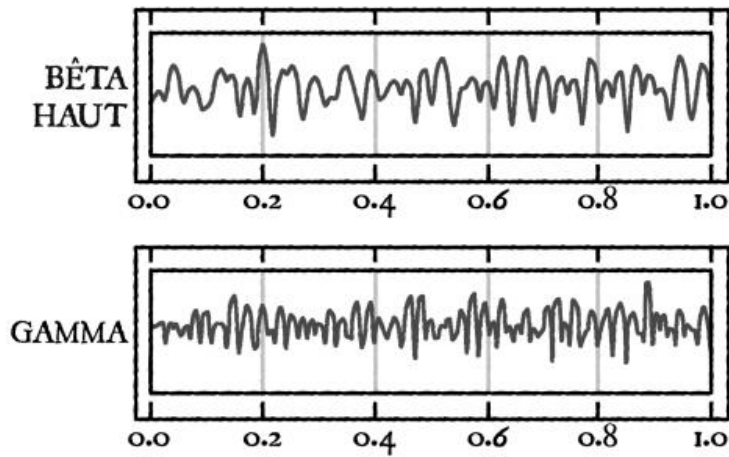
Le corps devient un aimant lorsqu'on fait circuler un courant vers le haut de la colonne vertébrale afin de produire un champ électromagnétique.

Figure 5.11. Le champ torique

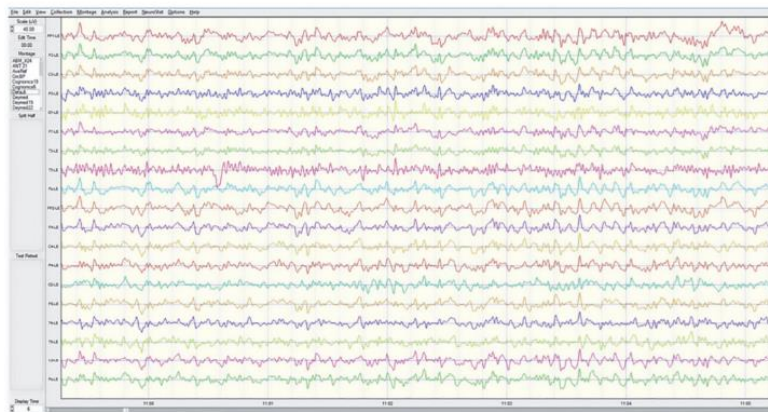


Les pommes et les trous noirs ont la forme d'un tore.

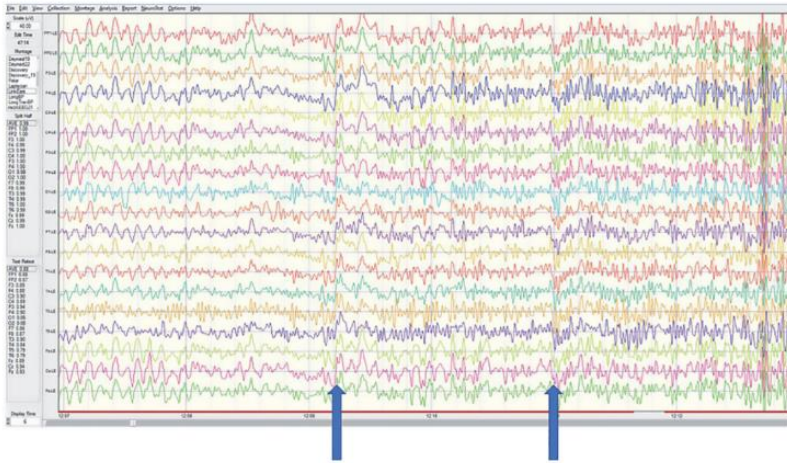
Figure 5.12. Comparaison entre les ondes bêta hautes et les ondes gamma du cerveau



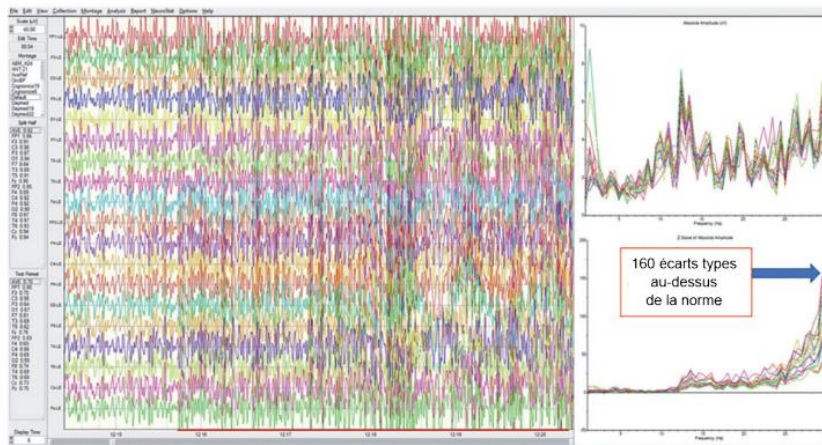
Graphiques 6A. Un participant entre en ondes gamma grâce à la respiration.



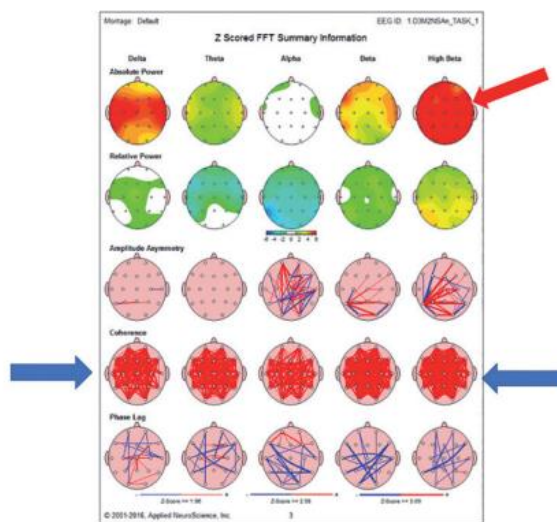
Graphique 6A(1)



Graphique 6A(2)

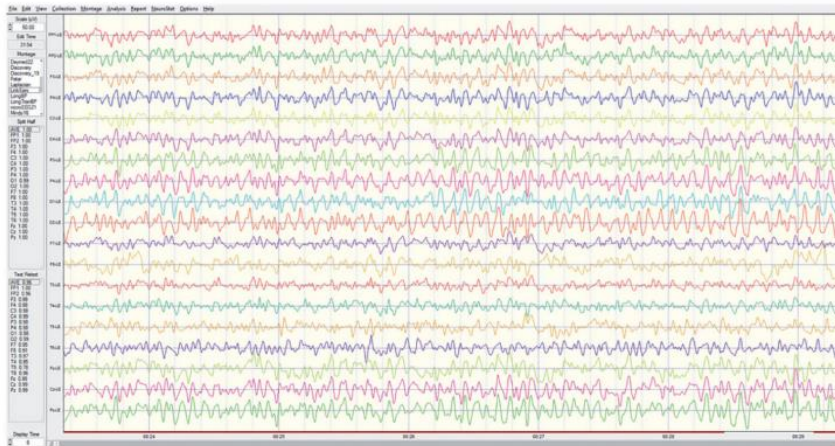


Graphique 6A(3)

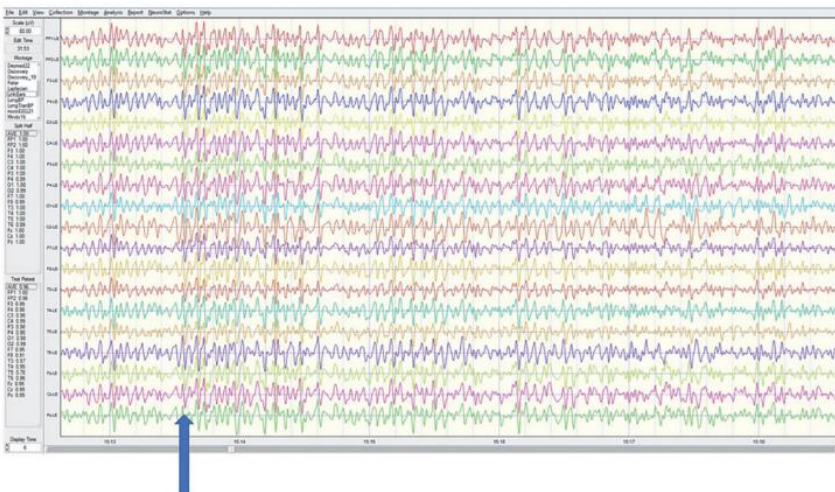


Graphique 6A(4)

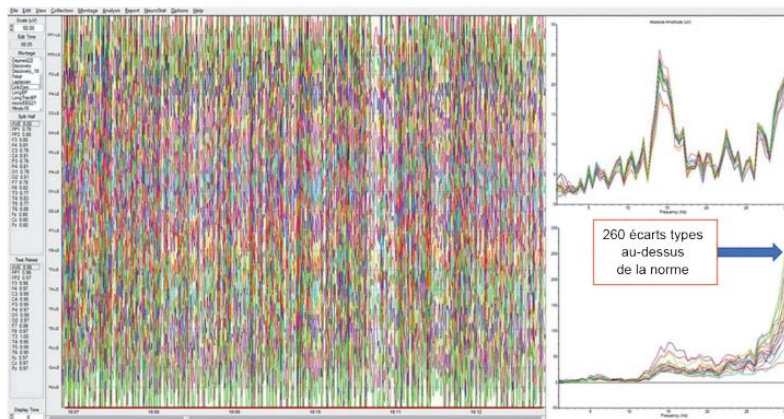
Graphiques 6B. Un autre participant entre en ondes gamma grâce à la respiration.



Graphique 6B(1)



Graphique 6B(2)



Graphique 6B(3)

Figure 5.13. Le tube de prana

*Tube de lumière créé par les mouvements de l'énergie vers le haut
et vers le bas de la moelle épinière.*

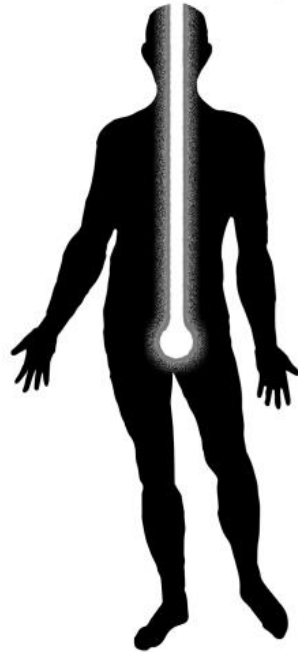
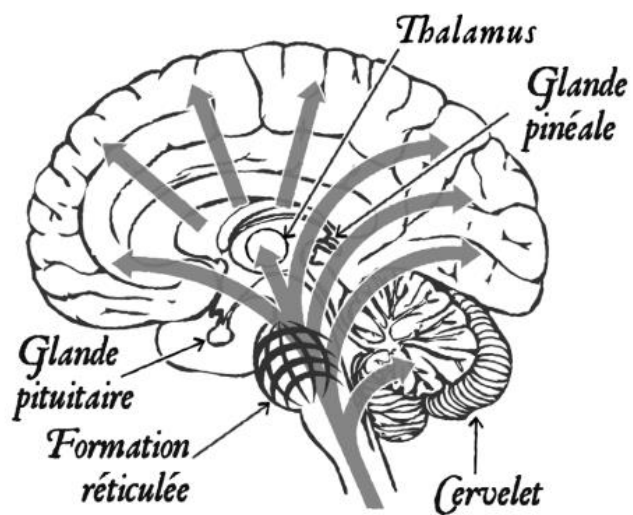
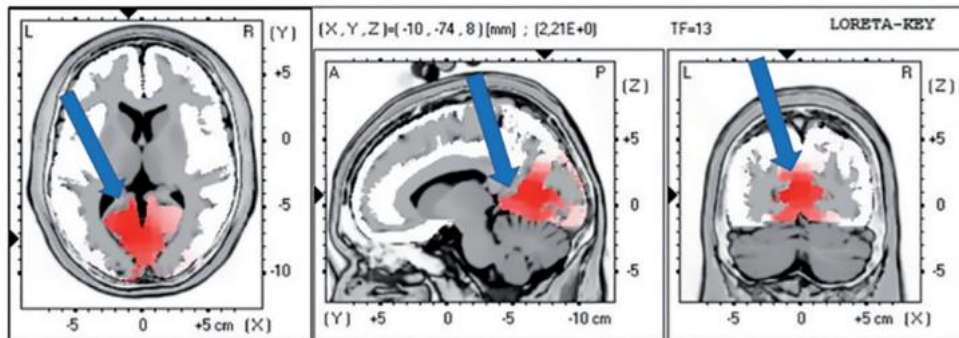


Figure 5.14. L'énergie pénètre dans le cerveau par la formation réticulée.

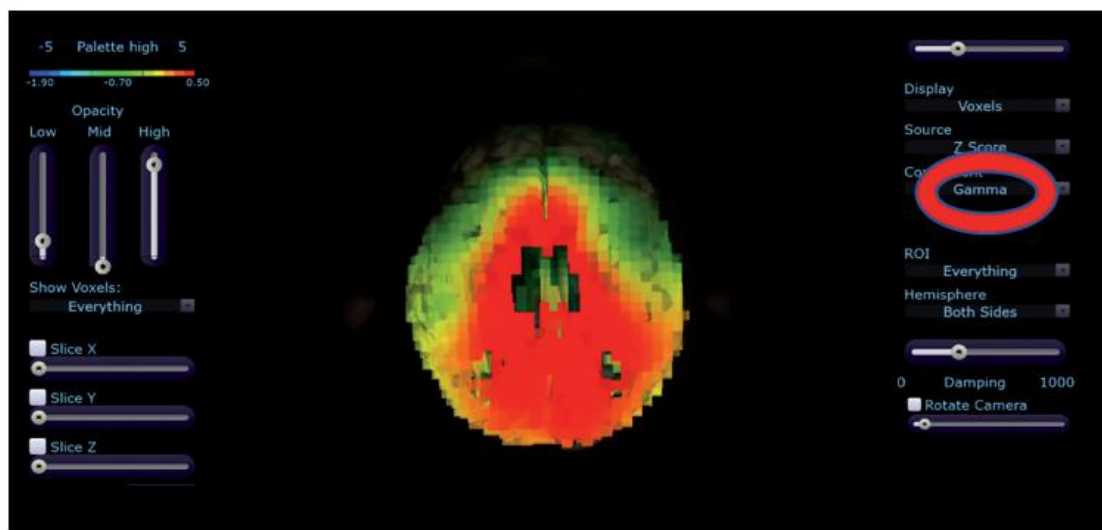


Graphique 6B (4). Imageries cérébrales montrant l'activation de l'aire entourant la glande pinéale.



Graphique 6B(4)

Graphique 6B (5). Une représentation tridimensionnelle du cerveau du même participant.

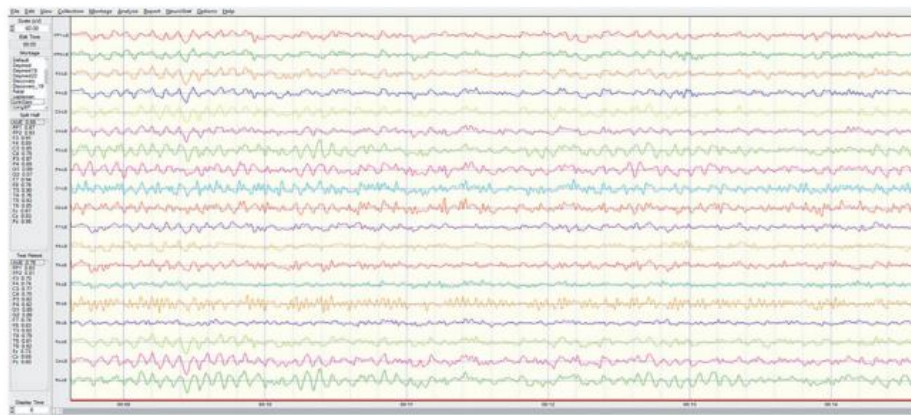


Graphique 6B(5)

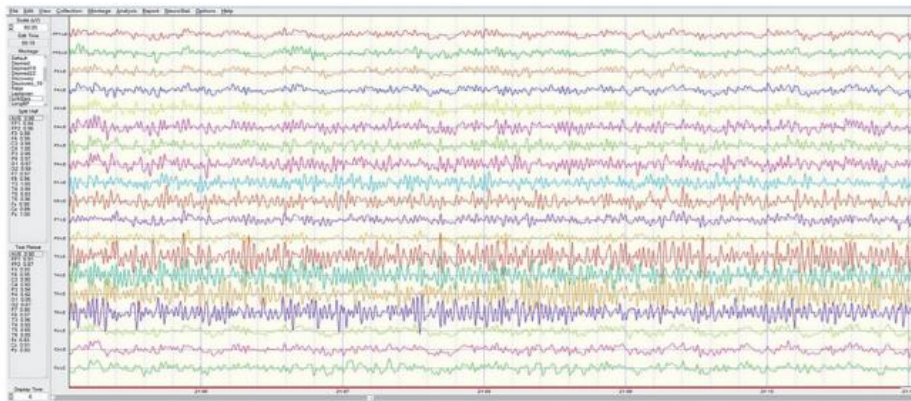
Figure 5.15. Ce que font les gènes et en quoi ils sont importants en matière de santé.

CHAC1	Régule l'équilibre oxydatif des cellules, ce qui contribue à réduire les radicaux libres à l'origine du stress oxydatif (la cause la plus universelle du vieillissement). Contribue à l'optimisation de la formation et du développement des cellules neuronales.
CTGF	Contribue à la guérison des blessures, à la croissance osseuse et à la régénération des cartilages et autres tissus conjonctifs. Une moindre expression de ce gène est associée au cancer et à des maladies auto-immunes.
TUFT1	Contribue à la régénération et la guérison cellulaires, en particulier à la régulation des cellules-souches (les cellules indifférenciées ou « vierges » pouvant se transformer en n'importe quel tissu dont le corps a besoin sur le moment). Participe à la minéralisation de l'émail dentaire.
DIO2	Important pour le bon état des tissus du placenta et le fonctionnement de la thyroïde (contribue à la production des hormones thyroïdiennes T3). Contribue à réguler le métabolisme en réduisant la résistance à l'insuline, ce qui diminue la survenue de maladies métaboliques et peut améliorer les dépendances de tous types, y compris alimentaires. Permet également de réguler l'humeur, en particulier la dépression.
C5orf66-AS1	Aide à identifier et éliminer les cellules cancéreuses, ainsi que les tumeurs.
KRT24	Associé à une structure cellulaire saine. Élimine également certains types de cellules cancéreuses, y compris celles du cancer colorectal.
ALS2CL	Élimine les tumeurs, en particulier celles qui contribuent au carcinome cellulaire squameux, une forme de cancer de la peau.
RND1	Aide les cellules à organiser les molécules qui leur donnent leur structure rigide. Contribue également à la croissance des cellules neuronales et élimine certains types de cellules cancéreuses (par exemple, en cas de cancer de la gorge et du sein).

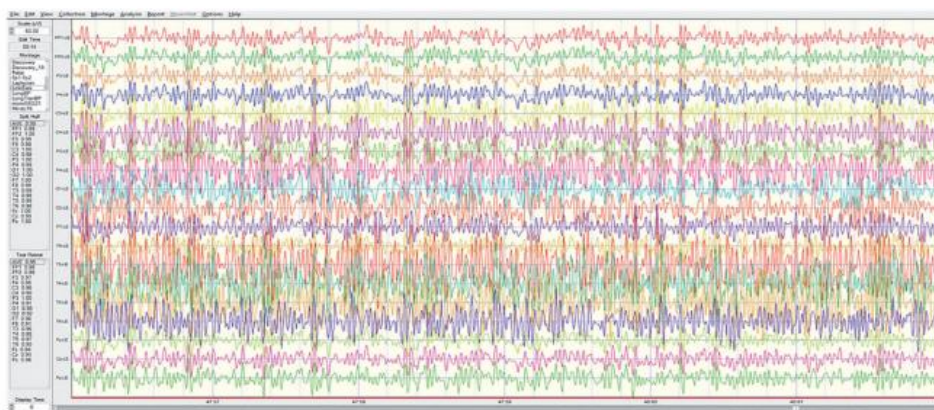
Graphiques 7A à 7C. Examens cérébraux de Felicia



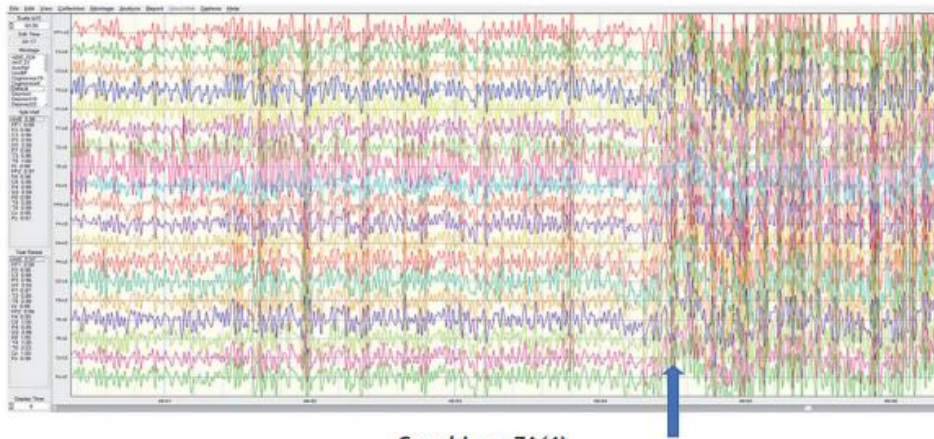
Graphique 7A(1)



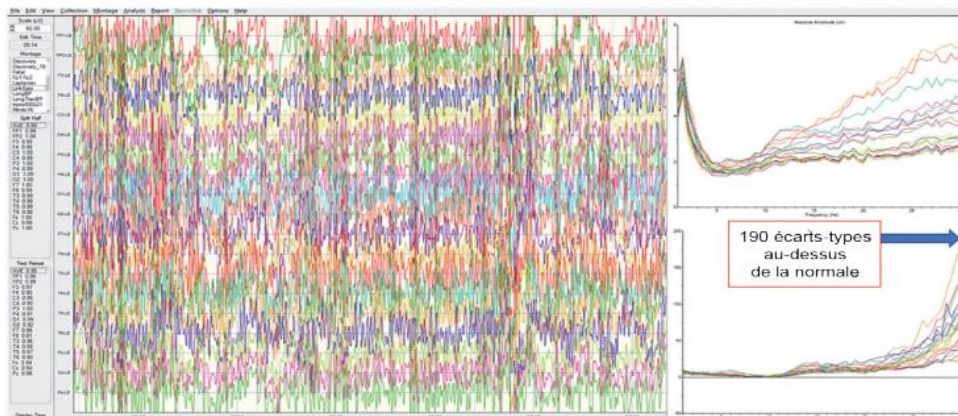
Graphique 7A(2)



Graphique 7A(3)

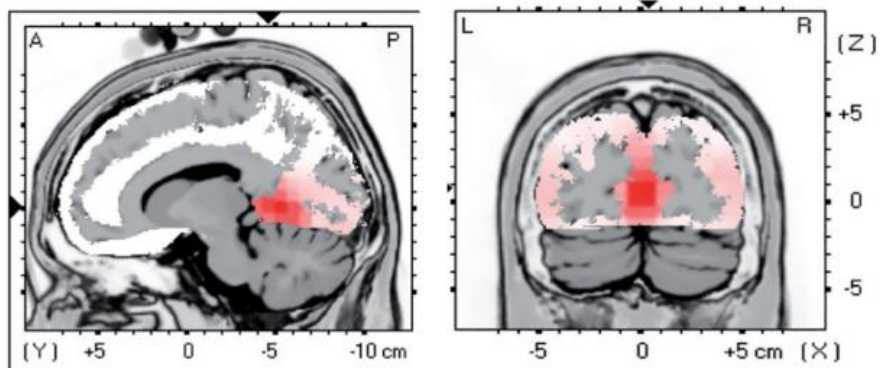


Graphique 7A(4)



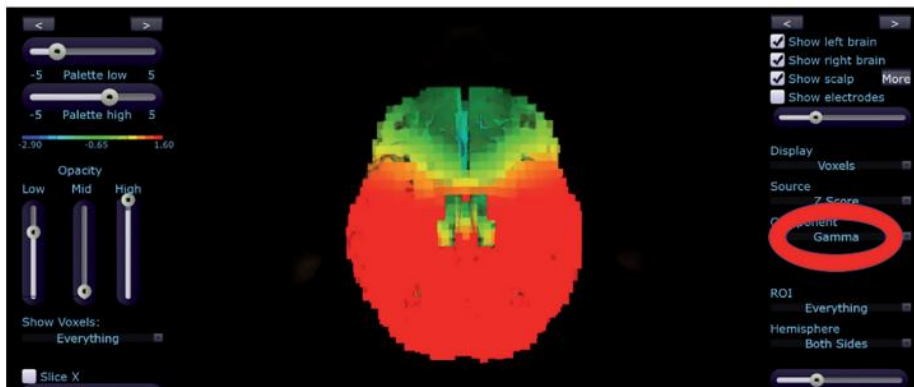
Graphique 7A(5)

$(X, Y, Z) = (11, -46, 1)$ [mm] ; $(1,03E+0)$



Graphique 7B

Étude du cas de Felicia, suite



Graphique 7C



Graphique 7D

Figure 7.1. Schémas du rythme cardiaque.

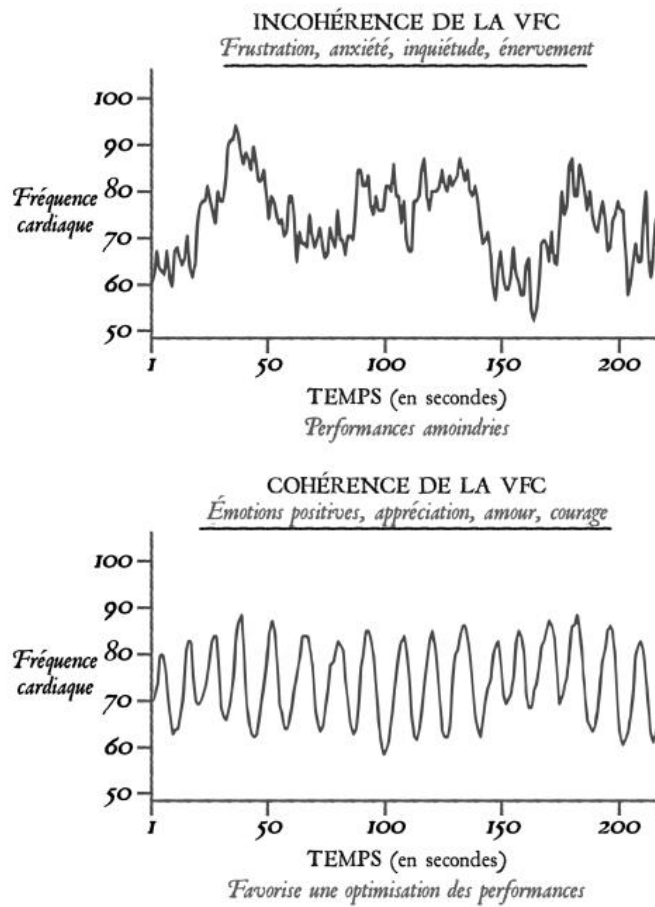
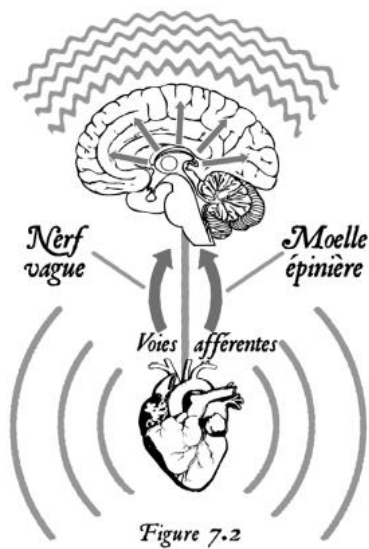
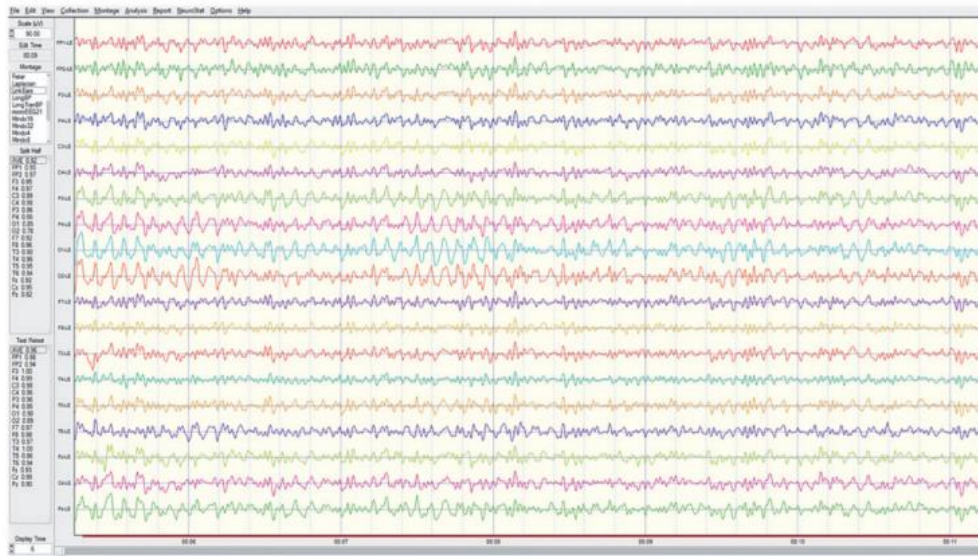


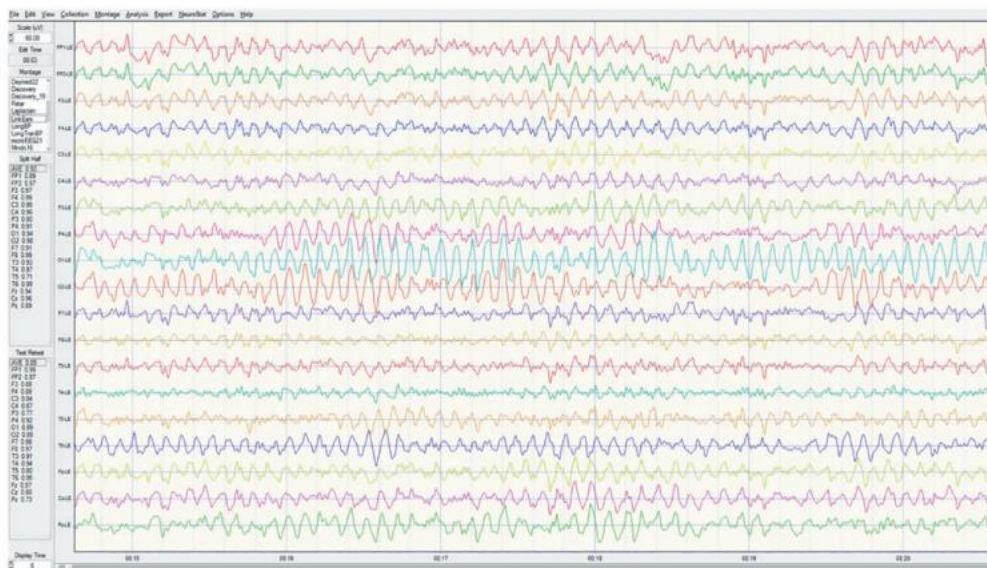
Figure 7.2. La cohérence cardiaque influence la cohérence cérébrale.



Graphiques 8A et 8B. Cohérence cardiaque et cohérence cérébrale.



Graphique 8A



Graphique 8B

Figures 7.3 A et 7.3B. Une analyse de la variabilité de fréquence cardiaque de l'une de nos participantes.

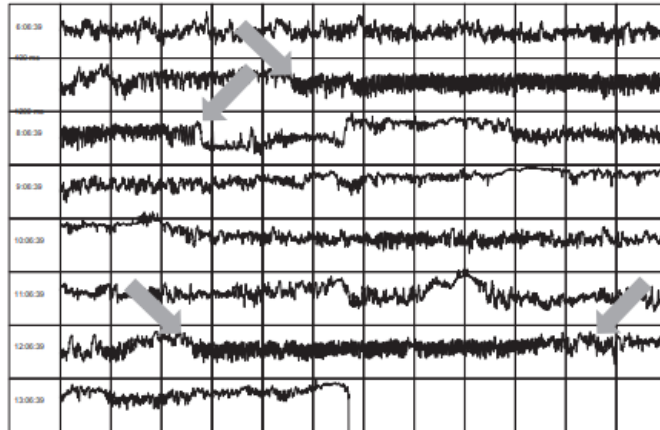


Figure 7.3A

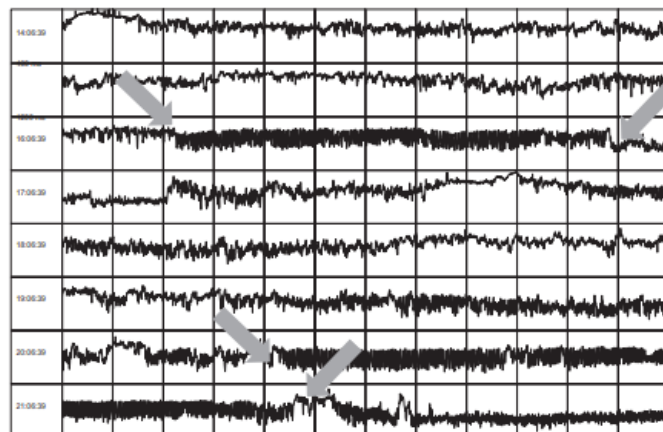


Figure 7.3B

Figure 7.4. Trois exemples de participants plongés pendant quarante-cinq minutes dans des émotions du cœur.

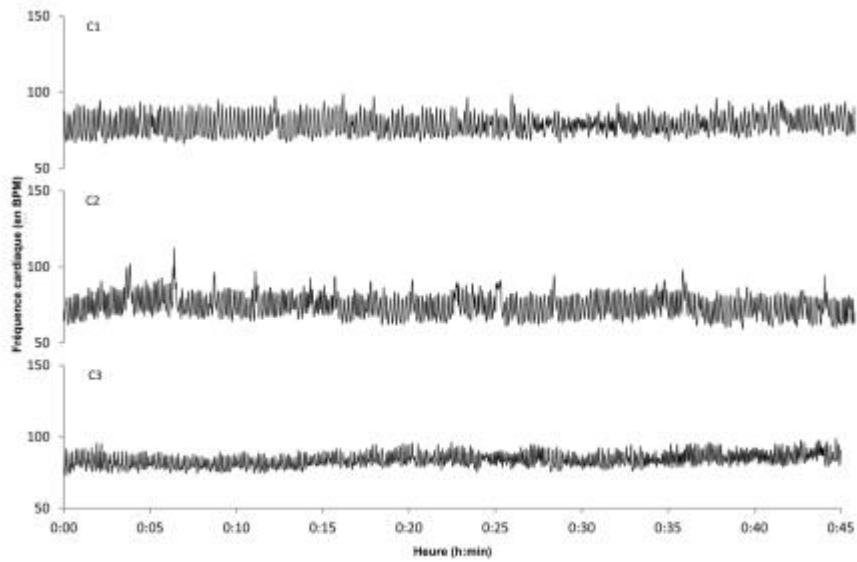


Figure 7.4

Figures 7.5A et 7.5B. Deux exemples de personnes ayant une très faible variabilité de fréquence cardiaque.

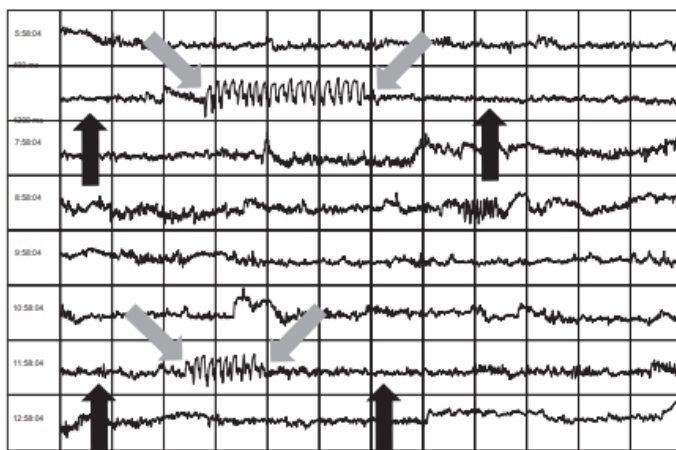


Figure 7.5A

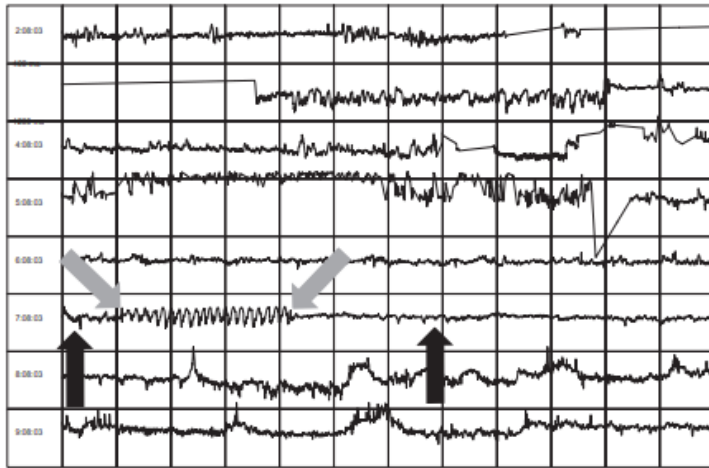


Figure 7.5B

Figure 8.1. La relation entre la transe, l'influçabilité, les ondes cérébrales et l'esprit analytique

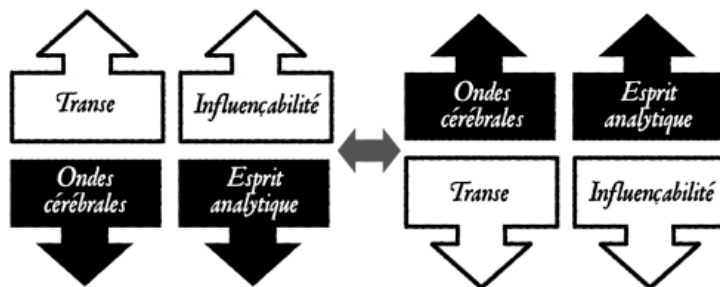
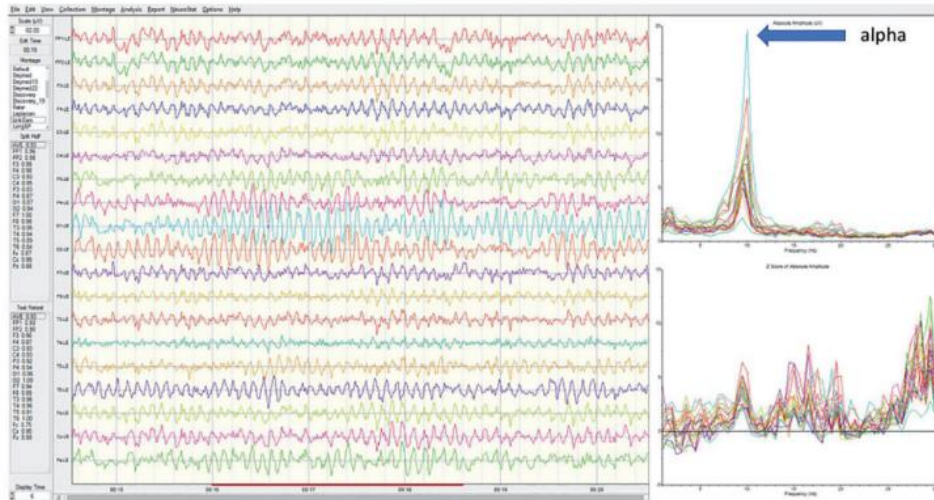
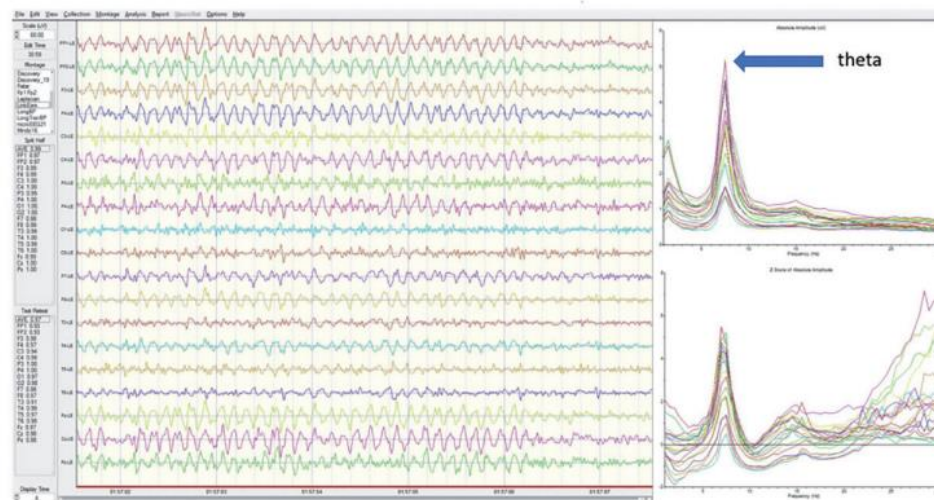


Figure 8.1

Graphiques 9A (1) et 9A (2). Ondes alpha et thêta cohérentes pendant le visionnage du kaléidoscope.

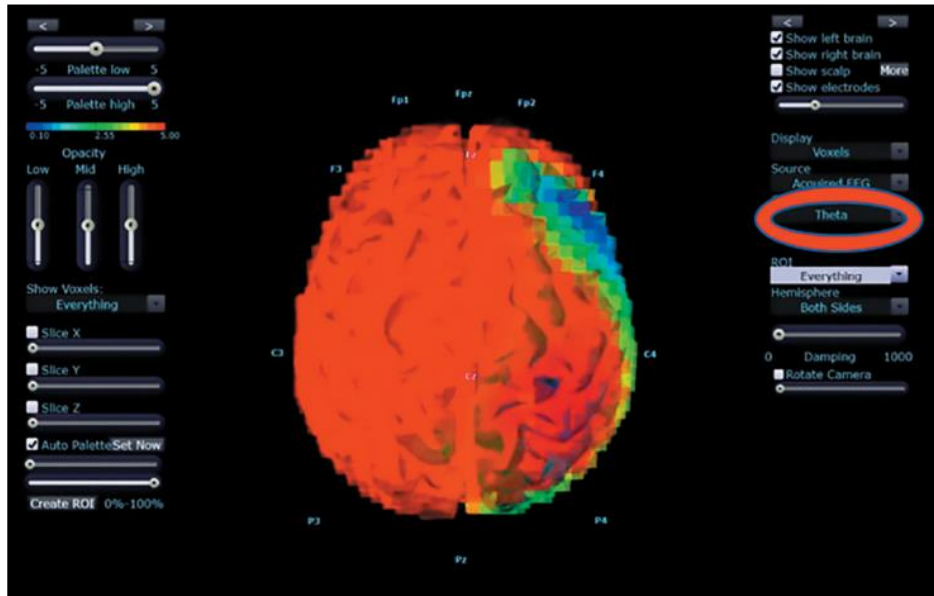


Graphique 9A(1)

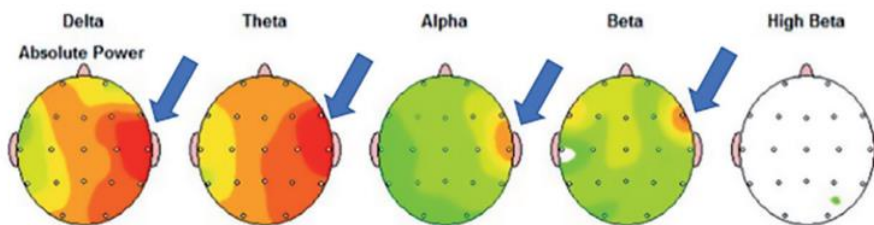


Graphique 9A(2)

Graphiques 9A (3) et 9A (4). Changement de l'activité cérébrale pendant le visionnage du kaléidoscope.

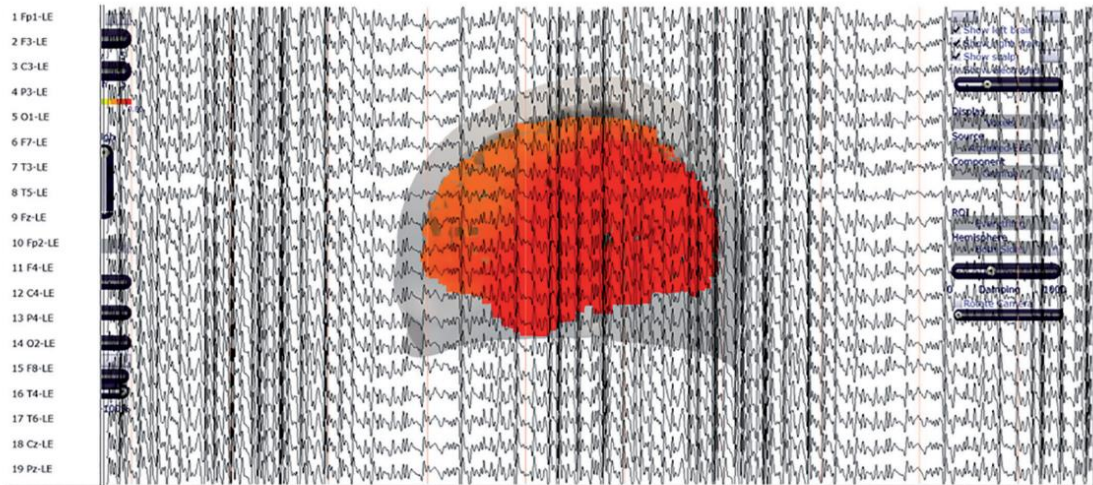


Graphique 9A(3)



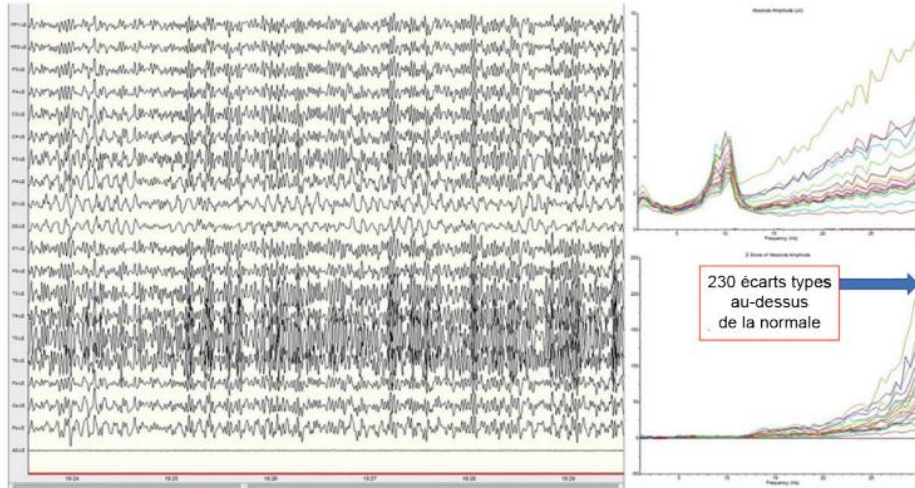
Graphique 9A(4)

Graphique 10. Énergie élevée dans le cerveau pendant le visionnage du film mental

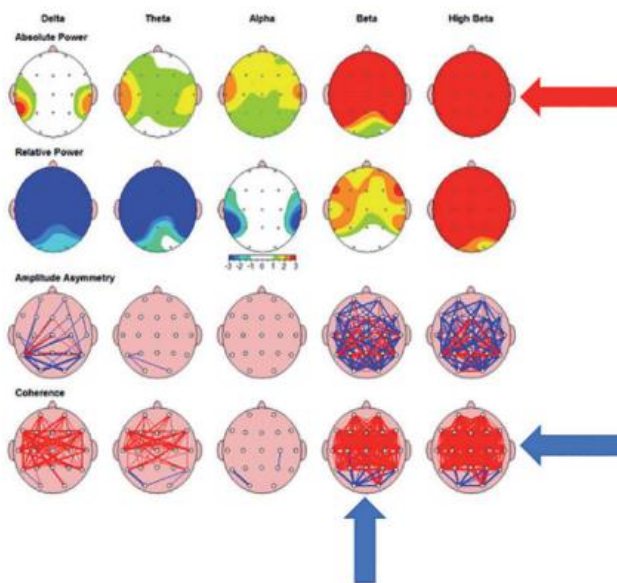


Graphique 10

Graphique 11 (A) et 11 (B). Activité cérébrale pendant qu'une scène du film mental est recréée en plusieurs dimensions.

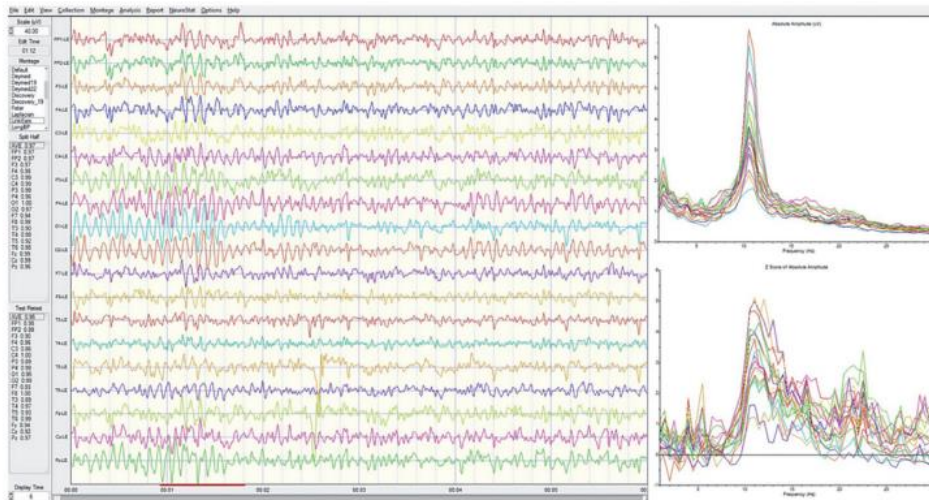


Graphique 11A

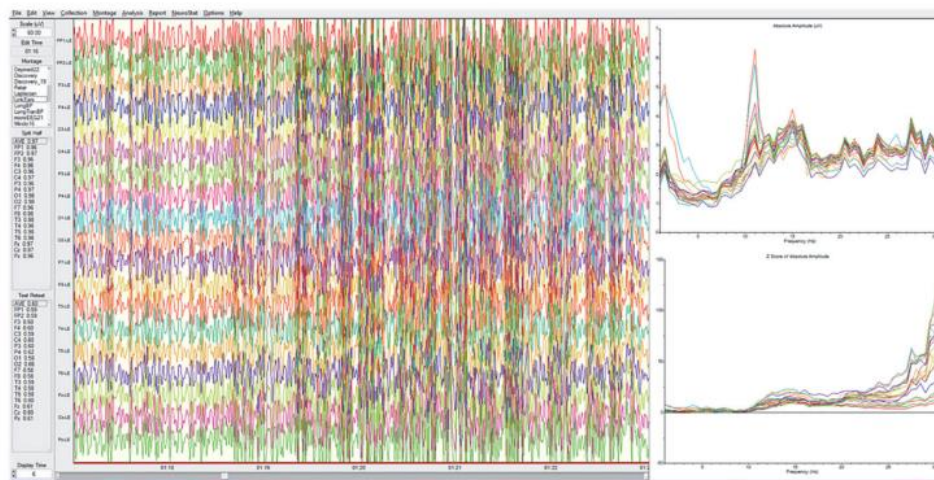


Graphique 11B

Graphiques 12 (A) et 12 (B). Changements cérébraux avant et après une marche méditative.

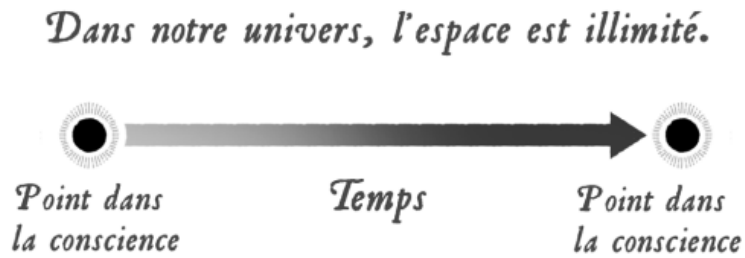


Graphique 12A



Graphique 12B

Figure 11.1. Le rapport entre l'espace et le temps dans le monde tridimensionnel.



*En nous déplaçant dans l'espace,
nous expérimentons le temps.*

Figure 11.1

Figure 11.2. Le temps linéaire : passé, présent et avenir.



La séparation dans le temps

Figure 11.2

Figure 11.3. Du monde des sens au monde au-delà des sens.

À la découverte du champ quantique

<i>Réalité matérielle newtonienne</i>	<i>Seuil du monde quantique de la conscience pure</i>
<i>Conscience :</i>	<i>Pas de conscience :</i>
<i>du corps d'autrui de la matière de l'espace du temps</i>	<i>du corps d'autrui de la matière de l'espace du temps</i>

Figure 11.3

Figure 11.4.

TRANSCENDER LE SOI

Quand on transcende le soi, on change de monde :

<i>Champ d'attention rétréci</i>	to	<i>Champ d'attention ouvert</i>
<i>L'attention se porte sur les objets, les gens, les lieux (particule)</i>	to	<i>L'attention se porte sur l'espace, l'énergie, les fréquences et les informations (onde)</i>
<i>Matériel</i>	to	<i>Immatériel</i>
<i>Trois dimensions</i>	to	<i>Cinq dimensions</i>
<i>Prévisibilité</i>	to	<i>Imprévisibilité</i>
<i>Espace-temps (monde de l'espace illimité)</i>	to	<i>Temps-espace (monde du temps éternel)</i>
<i>État de séparation, de dualité, de polarité et de localité</i>	to	<i>État d'unité, d'unicité, de totalité et de non-localité</i>
<i>Monde connu</i>	to	<i>Inconnu</i>
<i>Possibilités limitées</i>	to	<i>Possibilités illimitées</i>
<i>Univers</i>	to	<i>Multivers</i>
<i>Domaine des sens</i>	to	<i>Domaine échappant aux sens</i>

Figure 11.4

Figure 11.5. Le rapport entre le temps et l'espace dans le monde en 5D.

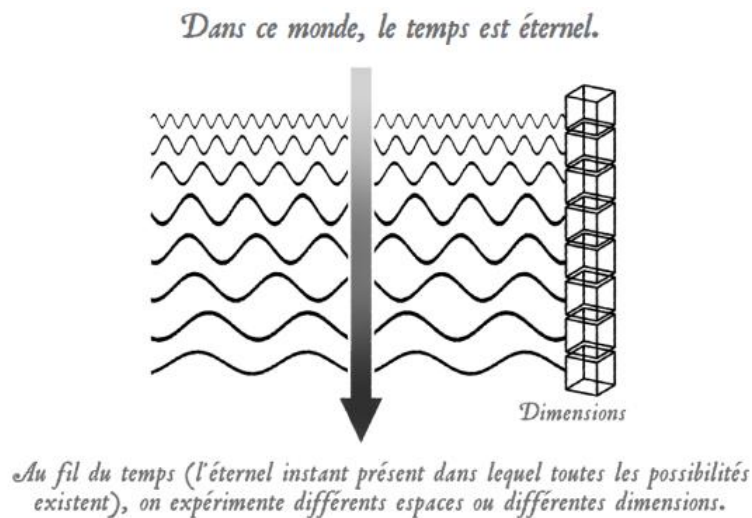


Figure 11.5

Figure 11.6. La perte de la personnalité et l'ouverture à l'universalité.

<i>Réalité matérielle newtonienne en 3D</i>	<i>Seuil du monde quantique de la conscience pure</i>	<i>Réalité immatérielle en 5D du champ unifié</i>
<i>Conscience :</i>	<i>Pas de conscience :</i>	<i>Conscience :</i>
<i>du corps d'autrui de la matière de l'espace du temps</i>	<i>du corps d'autrui de la matière de l'espace du temps</i>	<i>de tous les corps de tous les êtres de toute la matière de tout l'espace de tout le temps</i>

Figure 11.6

Figure 11.7. Modèle classique et modèle quantique de l'atome.

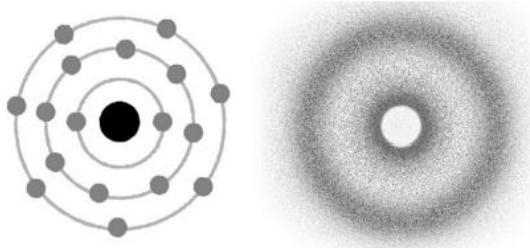


Figure 11.7

Figure 11.8.

ESPACE-TEMPS (MONDE NEWTONIEN, ESPACE INFINI)	PONT AVEC LE MONDE QUANTIQUE
<ul style="list-style-type: none"> • <i>Univers tridimensionnel</i> • <i>Hauteur, largeur, profondeur</i> • <i>Densité, forme, structure</i> • <i>Matière, particules : le corps, les êtres, l'espace, le temps</i> • <i>Temps linéaire : passé, présent, futur</i> • <i>Les sens créent une séparation, la dualité, la polarité, la localité</i> • <i>Localité : le corps, les êtres et les choses occupent une position dans l'espace et le temps</i> • <i>Domaine du connu, du prévisible</i> • <i>Conscience :</i> DU CORPS D'AUTRUI DE LA MATIÈRE DE L'ESPACE DU TEMPS 	<p><i>Absence de conscience</i> DU CORPS D'AUTRUI DE LA MATIÈRE DE L'ESPACE DU TEMPS</p> <p>VITESSE DE LA LUMIÈRE</p> <p style="text-align: center;">➡</p>

Figure 11.8

Figure 11.9.

TEMPS-ESPACE (MONDE QUANTIQUE, TEMPS INFINI)	NOMBRE INFINI DE POSSIBILITÉS INCONNUES
<ul style="list-style-type: none"> • <i>Multivers en 5D</i> • <i>Non localisé, informe, astructurel</i> • <i>Antimatière, ondes : énergie et conscience, fréquence et information, vibration et pensée</i> • <i>Le temps est infini, éternel et non linéaire</i> • <i>Tout se produit dans l'éternel instant présent</i> • <i>L'absence de sens physiques crée la complétude, l'unité, le lien, d'innombrables possibilités</i> • <i>Domaine de l'inconnu et de l'imprévisible</i> • <i>Conscience :</i> DE TOUS LES CORPS DE TOUS LES ÊTRES DE TOUTE LA MATIÈRE DE TOUT L'ESPACE DE TOUT LE TEMPS 	<p><i>Conscience :</i> AU-DELÀ DES CORPS AU-DELÀ DES ÊTRES AU-DELÀ DE LA MATIÈRE AU-DELÀ DE L'ESPACE AU-DELÀ DU TEMPS</p>

Figure 11.9

Figure 11.10. Vers l'unité.

Lorsque deux aspects de notre conscience s'effondrent, nous sommes moins dans la séparation et davantage dans l'unité et la complétude. Quand notre conscience fusionne avec celle du champ unifié, nous sortons du temps et de l'espace.

RÉALITÉ MATÉRIELLE : attention tournée vers l'extérieur



*Observateur omniprésent
Énergie originelle
Champ unifié*



*Conscience :
du corps
d'autrui
de la matière
de l'espace
du temps*

PRISE DE CONSCIENCE : l'attention est tournée vers l'instant



*Pas de conscience :
du corps
d'autrui
de la matière
de l'espace
du temps*

Nous sommes présents.

CONSCIENCE DE L'UNITÉ : de l'absence d'espace et de temps à la présence de tout l'espace et le temps



*En nous rapprochant
de cette conscience,
nous fusionnons avec.*

*Conscience :
de tous les corps
de tous les êtres
de toute la matière
de tout l'espace
de tout le temps*

Figure 11.10

Figure 11.11. De la pensée à la matière.

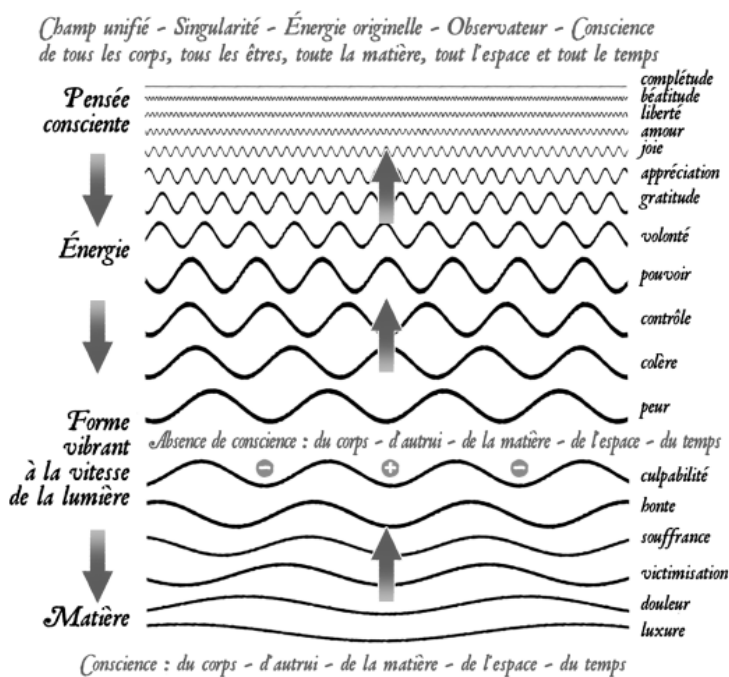


Figure 11.11

Figure 11.12. S'ouvrir à un nombre illimité de possibilités.

<i>Monde newtonien en 3D</i>	<i>Pont avec le monde quantique</i>	<i>Réalité en 5D du champ unifié</i>	<i>Champ de tous les possibles</i>
<i>Conscience :</i>	<i>Absence de conscience</i>	<i>Conscience :</i>	<i>Conscience :</i>
<i>du corps d'autrui de la matière de l'espace du temps</i>	<i>du corps d'autrui de la matière de l'espace du temps</i>	<i>de tous les corps de tous les êtres de toute la matière de tout l'espace de tout le temps</i>	<i>au-delà des corps au-delà des êtres au-delà de la matière au-delà de l'espace au-delà du temps</i>

Figure 11.12

Figure 12.1. La fabrication de sérotonine et de mélatonine : la méthylation.

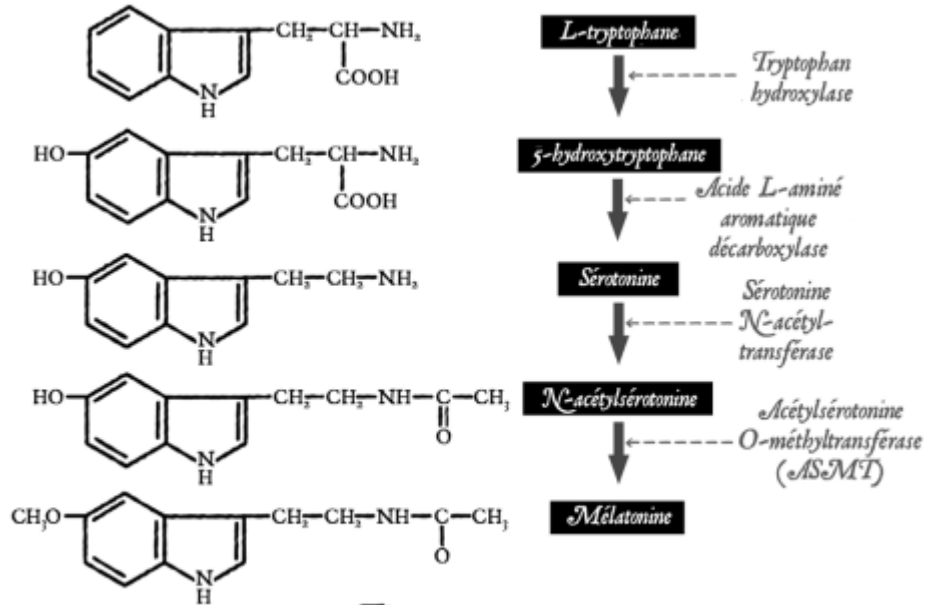


Figure 12.1

Figure 12.2. La relation inverse entre les hormones surréaliennes et la mélatonine.



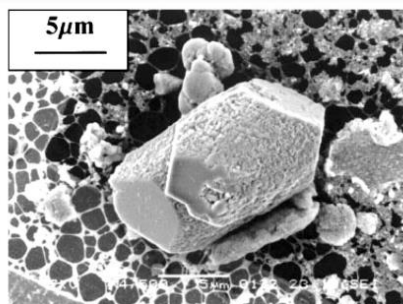
Figure 12.2

Figure 12.3. Faits scientifiques à propos de la mélatonine.

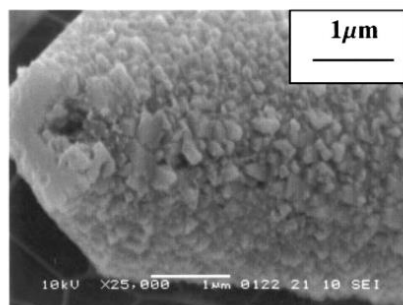
- *Interrompt la sécrétion excessive de cortisol en réaction au stress.*
- *Améliore le métabolisme des glucides.*
- *Diminue le taux de triglycérides.*
- *Inhibe l'athérosclérose (durcissement des artères).*
- *Stimule les défenses immunitaires (cellulaires et métaboliques).*
- *Ralentit le développement de certaines tumeurs.*
- *Augmente de 25 % la durée de vie des rats de laboratoire.*
- *Active une fonction neuroprotectrice dans le cerveau.*
- *Augmente le sommeil paradoxal (sommeil onirique).*
- *Neutralise les radicaux libres (action antioxydante, anti-vieillessement).*
- *Favorise la régénération et la réplication de l'ADN.*

Figure 12.3

Figure 12.4. Photographies d'un cristal de calcite découvert dans la glande pinéale.



A



B

Figure 12.4

Figure 12.5. Les ventricules du cerveau.

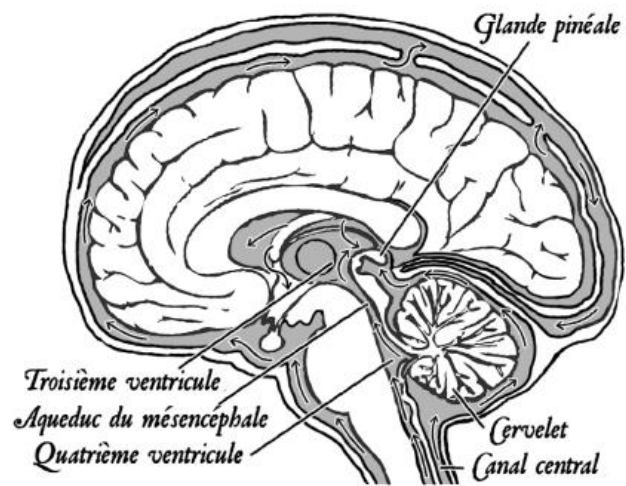


Figure 12.5

Figure 12.6. Les poils à l'extrémité de la glande pinéale



Figure 12.6

Figure 12.7. L'activation du système nerveux périphérique quand l'énergie remonte le long de la colonne.



Figure 12.7

Figure 12.8. Les deux thalamus dans le mésencéphale, avec la glande pinéale au milieu, face à l'arrière du cerveau.

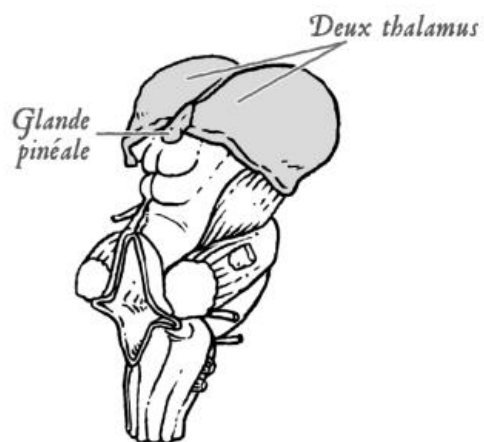
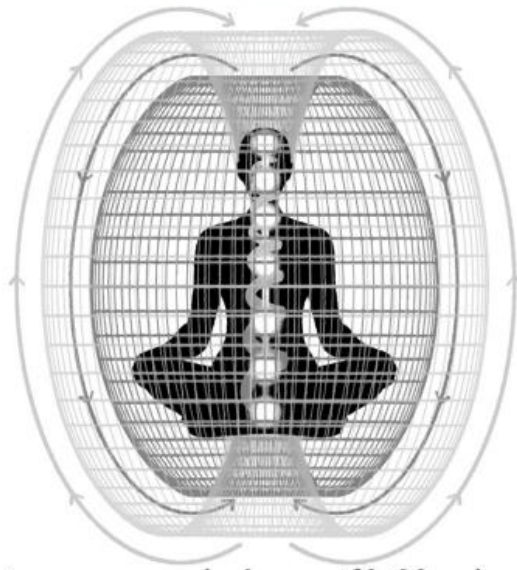


Figure 12.8

Figure 12.9. Le tore inversé.

LE TORE INVERSÉ



L'énergie en provenance du champ unifié pénètre dans le corps.

Figure 12.9

Figure 12.10. La production d'autres métabolites à partir de la mélatonine.

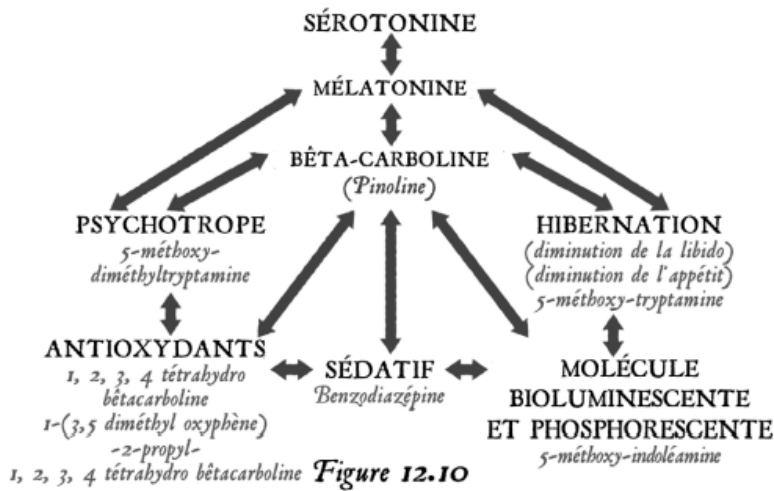
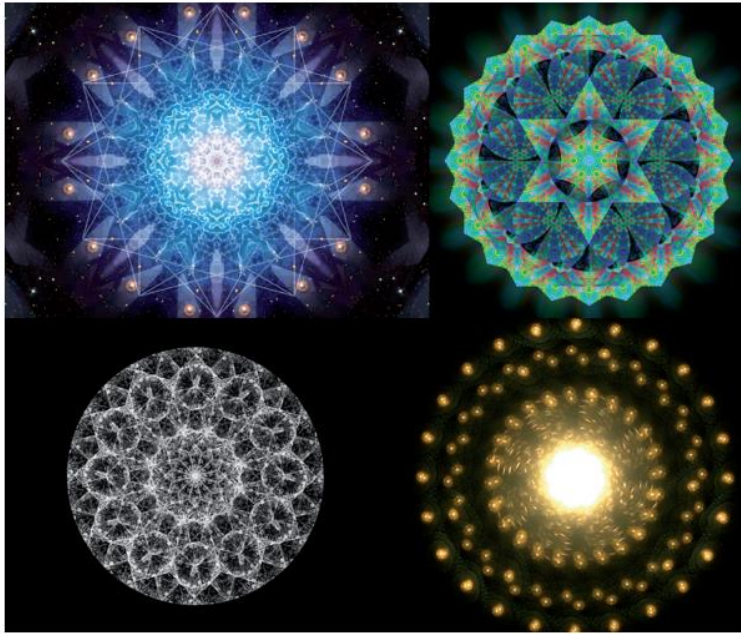


Figure 12.10

Graphique 13. Ondes porteuses d'informations



Graphique 13A

Figure 12.11. Le Crop Circle

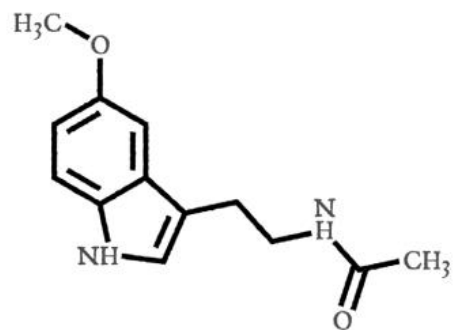
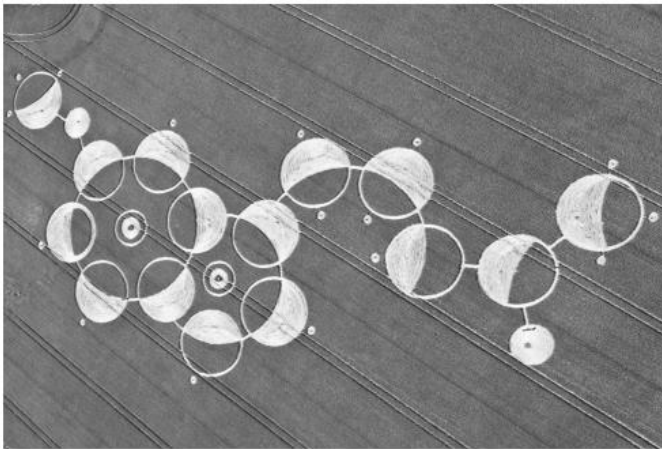


Figure 12.11

Figure 12.12. L'œil d'horus, le cerveau limbique et la glande pinéale



Figure 12.12

Figure 12.13. La suite de Fibonacci.

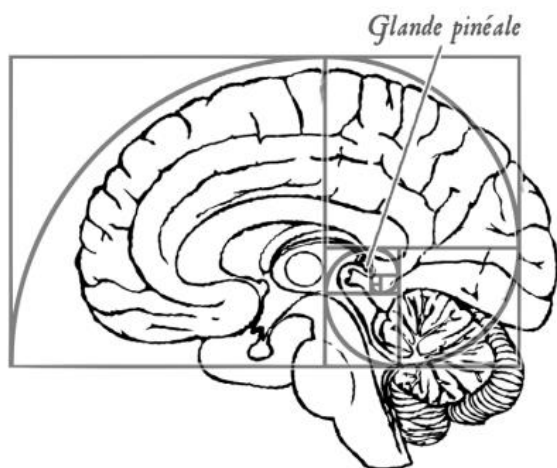


Figure 12.13

Figure 12.14. Le caducée : l'alchimie du soi.



Figure 12.14

Figure 13.1. Le champ électromagnétique terrestre

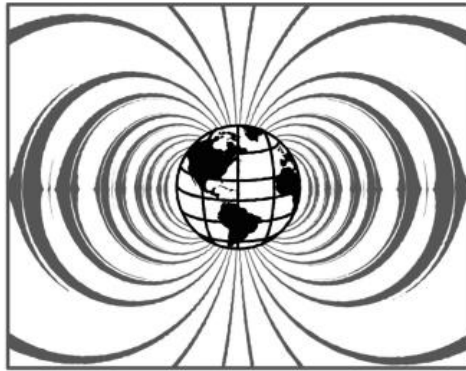
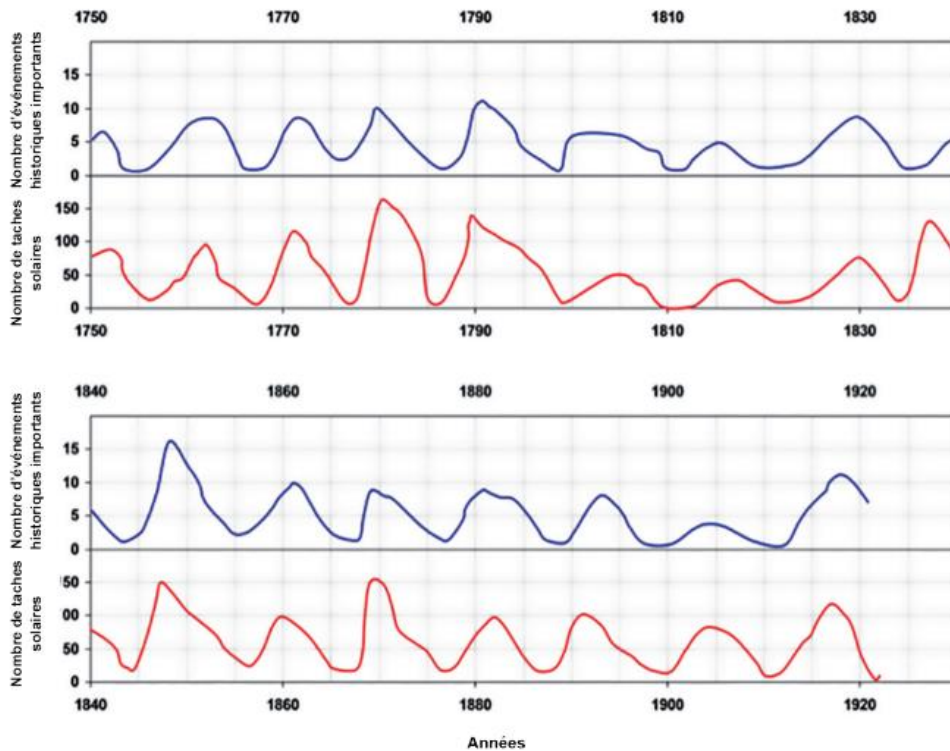


Figure 13.1

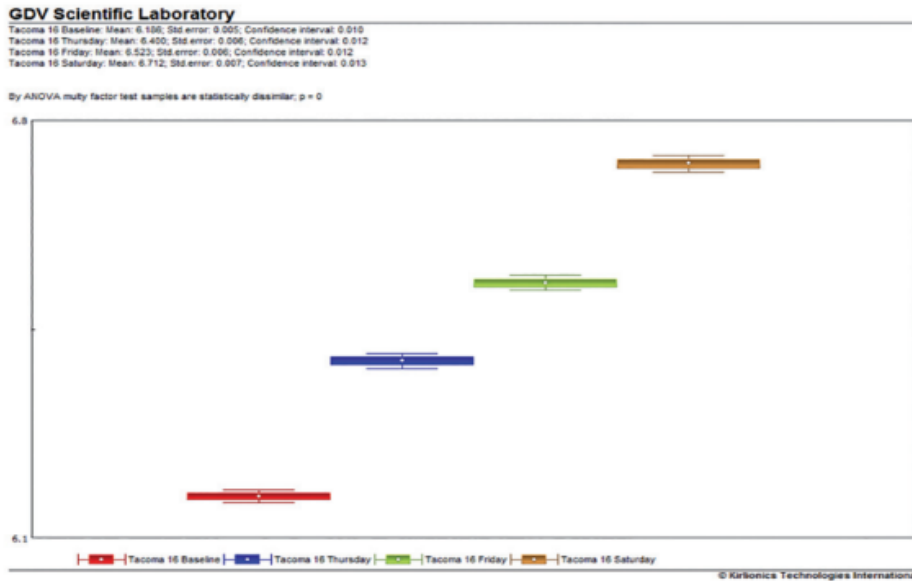
Graphique 14. Corrélation entre l'activité solaire et les événements historiques.



Graphique 14

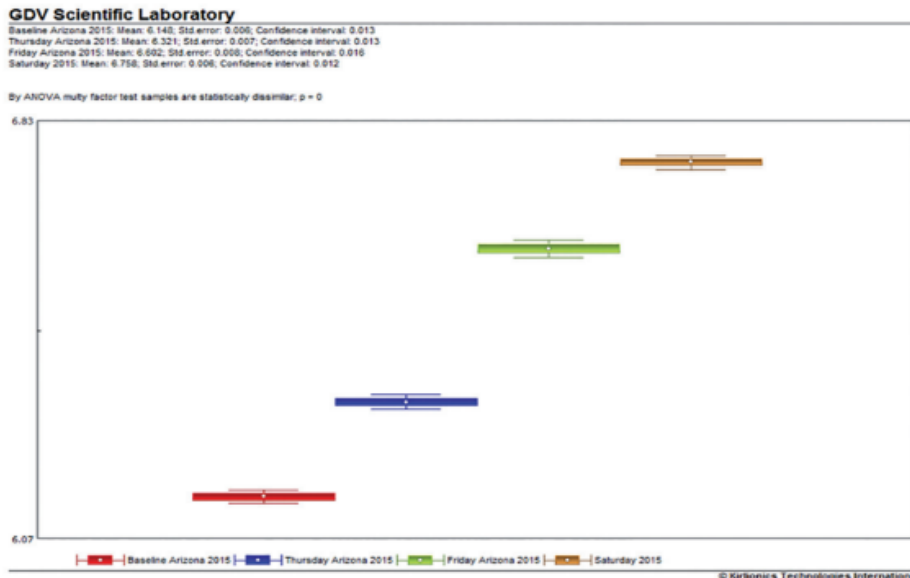
Créé à partir de données provenant de la traduction de l'article d'Alexander Chizhevsky, « Physical Factors of the Historical Process ».

Graphique 15A. Comparaison entre les énergies de toute une journée mercredi, jeudi, vendredi, samedi Tacoma, États-Unis, 2016



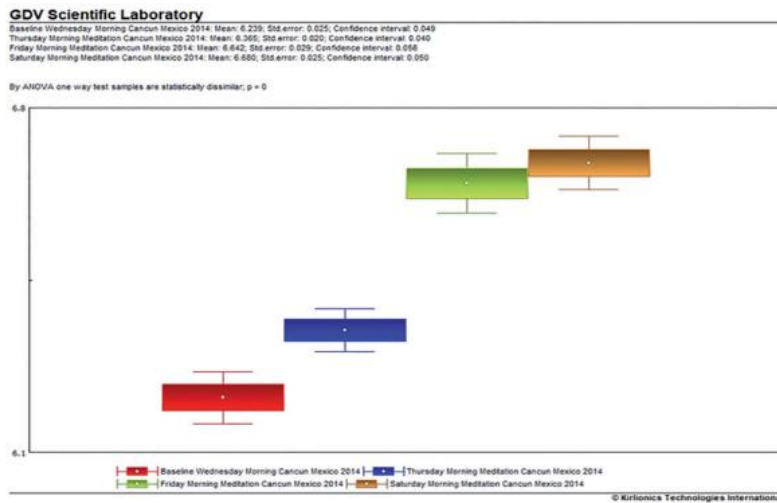
Graphique 15A

Graphique 15B. Comparaison entre les énergies de toute une journée mercredi, jeudi, vendredi, samedi Carefree, États-Unis, 2015



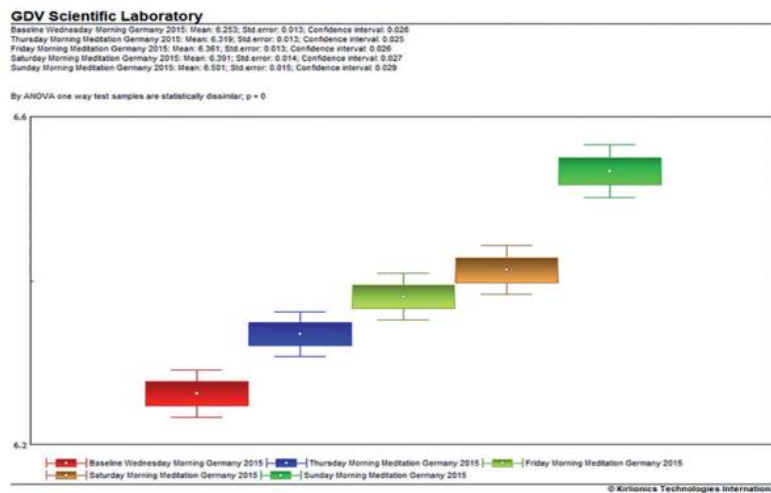
Graphique 15B

Graphique 15C. Comparaison entre les énergies matinales mercredi, jeudi, vendredi, samedi Cancún, Mexique, 2014



Graphique 15C

Graphique 15D. Comparaison entre les énergies matinales mercredi, jeudi, vendredi, samedi, dimanche Munich, Allemagne, 2015



Graphique 15D

Figure 13.2. L'interférence constructive.

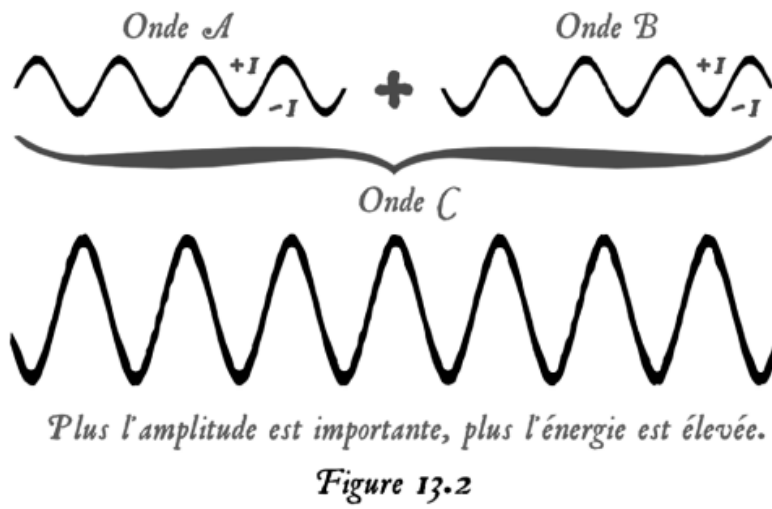


Figure 13.3.

